

Modelos SARIMA (Auto-Regressivo Integrado de Médias Móveis com Sazonalidade): parte 3

Prof. Caio Azevedo

Diagnóstico

- Voltemos a questão dos resíduos. Em geral, os modelos vistos no curso, podem ser escritos da seguinte forma (considerando uma amostra finita, ou seja, uma ST observada):

$$\begin{aligned}Y_t &= h(\mathbf{Y}_{t-1}, \boldsymbol{\epsilon}_{t-1}, \boldsymbol{\phi}, \boldsymbol{\Phi}, \boldsymbol{\theta}, \boldsymbol{\Theta}) + \epsilon_t \\ \epsilon_t &\sim NID(0, \sigma^2),\end{aligned}$$

em que $\mathbf{Y}_{t-1} = (Y_1, Y_2, \dots, Y_{t-1})'$ e $\boldsymbol{\epsilon}_{t-1} = (\epsilon_1, \epsilon_2, \dots, \epsilon_{t-1})'$.

- Assim, suponha que os parâmetros sejam conhecidos. Sob a validade do modelo acima (considerando $\sigma = \sqrt{\sigma^2}$), temos que:

$$\epsilon_t = \frac{Y_t - h(\mathbf{Y}_{t-1}, \boldsymbol{\epsilon}_{t-1}, \boldsymbol{\phi}, \boldsymbol{\Phi}, \boldsymbol{\theta}, \boldsymbol{\Theta})}{\sigma} \sim NID(0, 1). \quad (1)$$

Diagnóstico

- Por outro lado pode-se considerar diversos (tipos de) resíduos (valores preditos dos erros) para os erros (ϵ_t).
- O resíduo apresentado [aqui](#) é bastante apropriado, como discutido anteriormente. Contudo, podemos considerar um outro resíduo, mais simples de calcular.
- Com efeito, seja $\hat{h} = h(\mathbf{Y}_{t-1}, \epsilon_{t-1}, \hat{\phi}, \hat{\Phi}, \hat{\theta}, \hat{\Theta})$ um “preditor” de $h = h(\mathbf{Y}_{t-1}, \epsilon_{t-1}, \phi, \Phi, \theta, \Theta)$, por exemplo, obtido via máxima verossimilhança (MV), ou seja, $(\widehat{\cdot})$ denota o respectivo estimador de MV.

Diagnóstico

- Como os estimadores de MV são **consistentes**, então:

$$|\hat{h} - h| \xrightarrow[n \rightarrow \infty]{P} 0. \quad (2)$$

- Assim, o seguinte resíduo:

$$\hat{\epsilon}_t = \frac{Y_t - \hat{h}_t}{\hat{\sigma}},$$

tem distribuição aproximadamente normal, sob o bom ajuste do modelo e para n suficientemente grande.

- Com efeito, este é o resíduo utilizado pela função “sarima” do pacote “astsa”.

Frame Title

- Apresentaremos agora um teste para verificação de “homocedasticidade condicional” (Teste de [McLeod-Li](#), o qual se assemelha ao teste de [Ljung-Box](#)).
- Apesar de ser direcionado para se verificar a necessidade de utilização de modelos das família (G)ARCH, esse teste pode ser utilizado para fornecer subsídios a respeito da homocedasticidade (condicional, ou seja, dada a parte sistemática do processo) do ruído branco.
- Hipóteses testadas (no caso do ruído branco).

$$H_0 : \sigma^2 \text{ é constante} \text{ vs } H_1 : \sigma^2 \text{ não é constante}$$

Frame Title

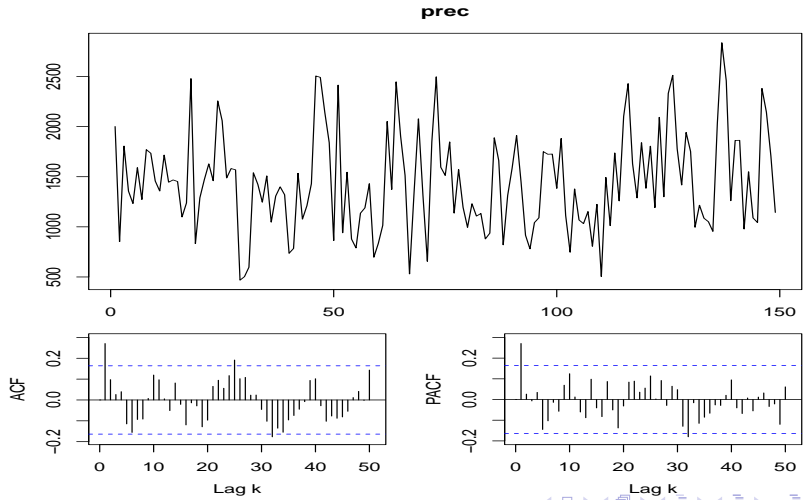
- Estatística do teste:

$$Q_3 = T(T+2) \sum_{t=1}^h \frac{\hat{\rho}^2(t)}{T-t},$$

em que T é o tamanho da série observada, $\hat{\rho}(h)$ é a FAC amostral, de ordem h , dos resíduos padronizados ($\hat{\epsilon}_t$) e h é a defasagem fixada).

- Assim como no Teste de Ljung-Box, devemos fazer o teste para uma grande variedade de defasagens (h).
- Nos próximos slides revistaremos algumas ST anteriormente apresentadas (e eventualmente, analisadas). Exercício: escrever as equações de todos os modelos ajustados.

Precipitação pluviométrica no município de Fortaleza/CE



Precipitação pluviométrica no município de Fortaleza/CE

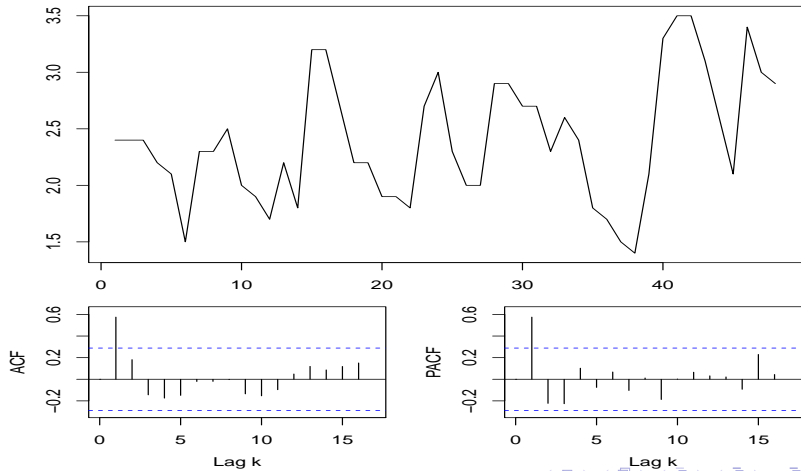
- Trata-se de uma série complicada de ser modelada, em particular, estando limitados ao conteúdo visto neste curso.
- De acordo com Morettin & Tolli (2018), pag. 14, tal ST foi analisada por vários autores e, aparentemente, não apresenta periodicidades marcantes.
- Por outro lado, estudos de [Morettin et al \(1985\)](#) e [Harvey and Souza \(1987\)](#), indicam uma periodicidade de aproximadamente 13 anos.
- Portanto, não consideraremos a modelagem dessa ST.

Dados sobre concentração do hormônio luteinizante (HL)

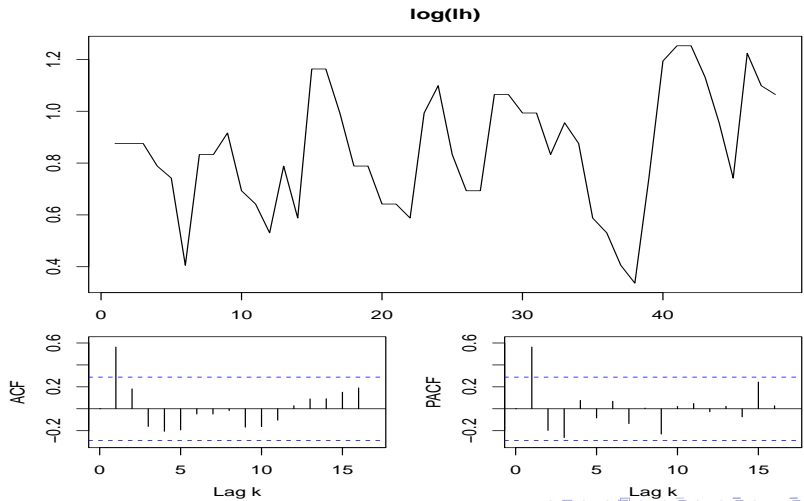
- Um modelo AR(1) fora utilizado ([aqui](#)).
 - Os resíduos apresentam assimetria positiva, embora, segundo os outros gráficos, o ajuste seja razoável.
 - A predição dos valores observados não foi muito boa, embora a predição para valores futuros, pareça razoável.
- Segundo [essa referência](#), os dados do hormônio luteinizante foram fornecidos com precisão de até uma casa decimal, indicando que há algum desvio entre o nível real de HL e as observações. O autor ajuste um modelo (além do escopo desta disciplina) o qual, aparentemente, resolve o problema.
- Entretanto, tentemos encontrar um modelo SARIMA que se ajuste (ainda melhor) aos dados.

Concentração do hormônio luteinizante

lh



Log da concentração do hormônio luteinizante

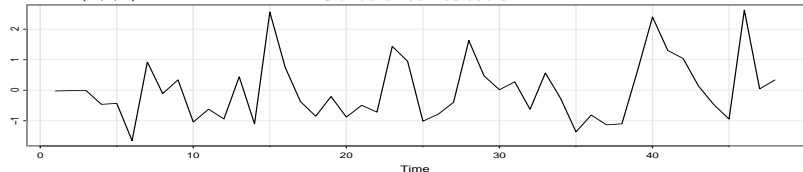


Dados sobre concentração do hormônio luteinizante

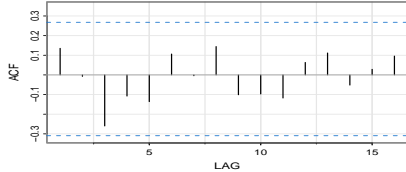
- Inicialmente, vamos ajustar um modelo AR(1) para o log (\ln) da concentração.
- Em todos os slides a seguir, TSW: teste de [Shapiro-Wilks](#) para normalidade e TML: teste de McLeod-Li para homecedasticidade condicional.

Model: (1,0,0)

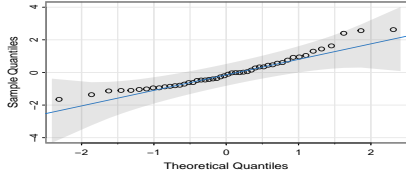
Standardized Residuals



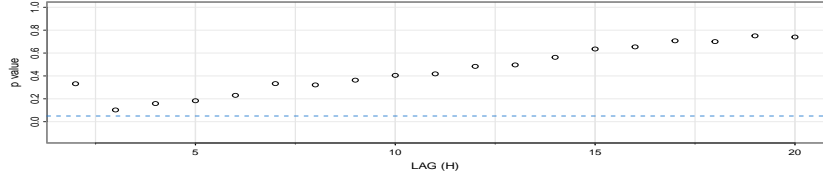
ACF of Residuals



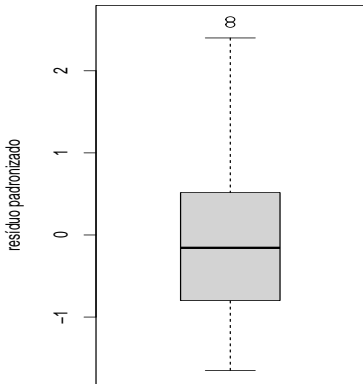
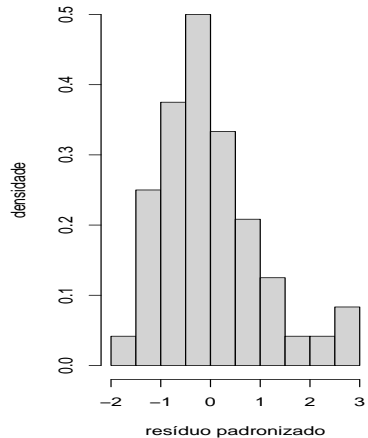
Normal Q-Q Plot of Std Residuals



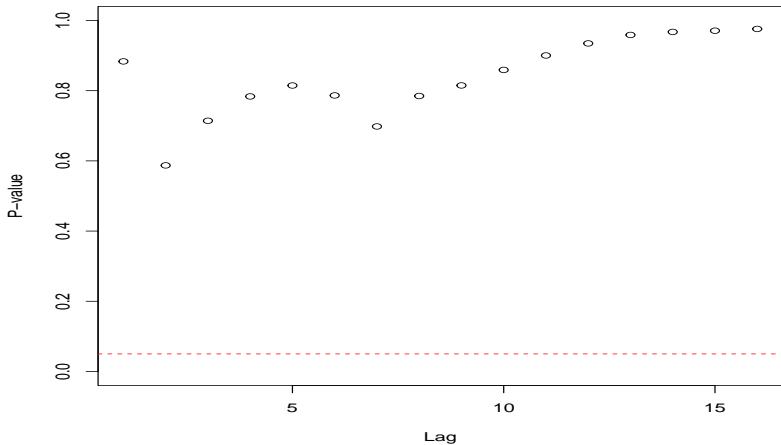
p values for Ljung-Box statistic



Histograma e Box-plot do RP: AR(1) - TSW ($p=0,0084$)

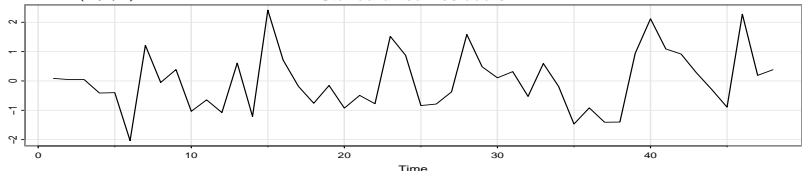


TML do RP

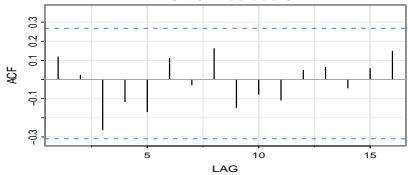


Model: (1,0,0)

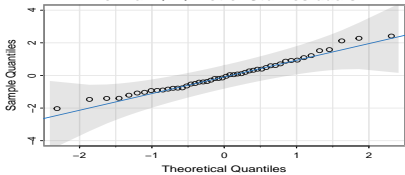
Standardized Residuals



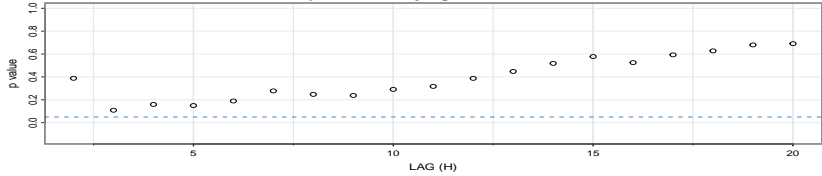
ACF of Residuals



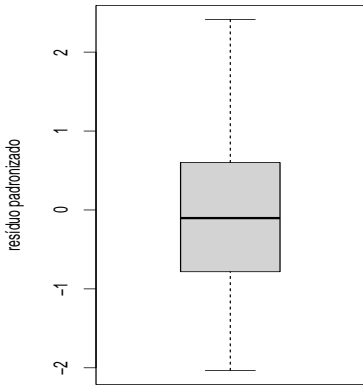
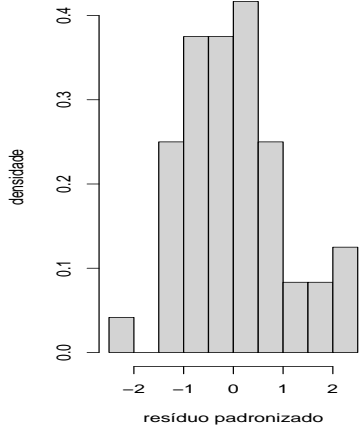
Normal Q-Q Plot of Std Residuals



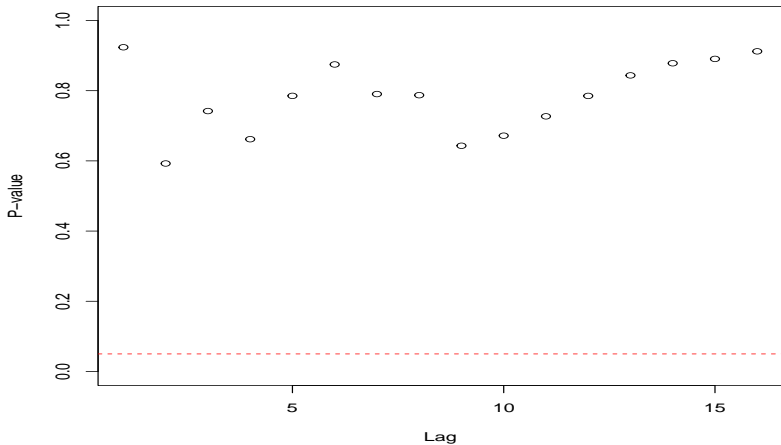
p values for Ljung-Box statistic



Histograma e Box-plot do RP: AR(1)-In TSW ($p=0,3977$)



TML do RP



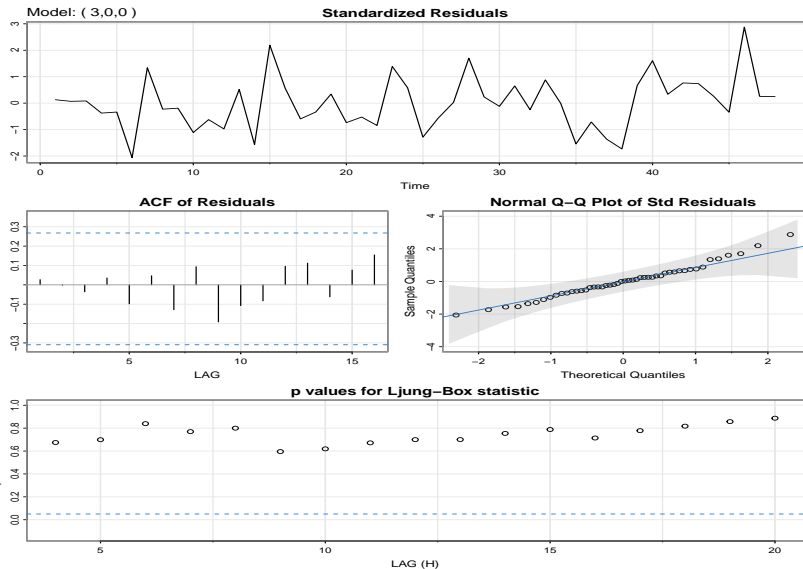
Critérios de Informação (CI)

| Modelo | AIC | AICc | BIC |
|----------|--------|--------|--------|
| AR(1) | 1,349 | 1,355 | 1,466 |
| AR(2) | 1,344 | 1,355 | 1,500 |
| AR(3) | 1,337 | 1,357 | 1,532 |
| AR(1)-ln | -0,353 | -0,347 | -0,236 |
| AR(2)-ln | -0,347 | -0,336 | -0,191 |
| AR(3)-ln | -0,372 | -0,353 | -0,178 |

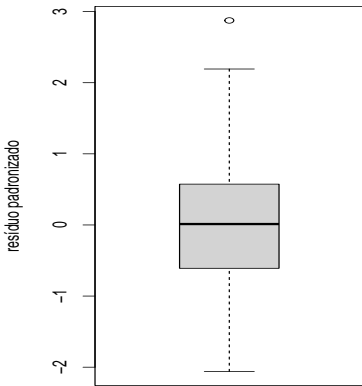
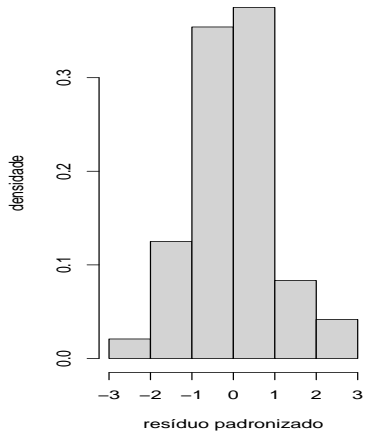
Acurácia da previsão de valores futuros

| Modelo | EPM | EQM | EAM | EPAM |
|----------|-----------------|--------------|--------------|----------------|
| AR(1) | -396,866 | 117,000 | 10,601 | 396,866 |
| AR(2) | -291,545 | 63,699 | 7,821 | 291,545 |
| AR(3) | -202,889 | 33,231 | 5,429 | 202,889 |
| AR(1)-In | -154,353 | 2,272 | 1,485 | 154,353 |
| AR(2)-In | -136,221 | 1,774 | 1,311 | 136,221 |
| AR(3)-In | -111,768 | 1,218 | 1,072 | 111,768 |

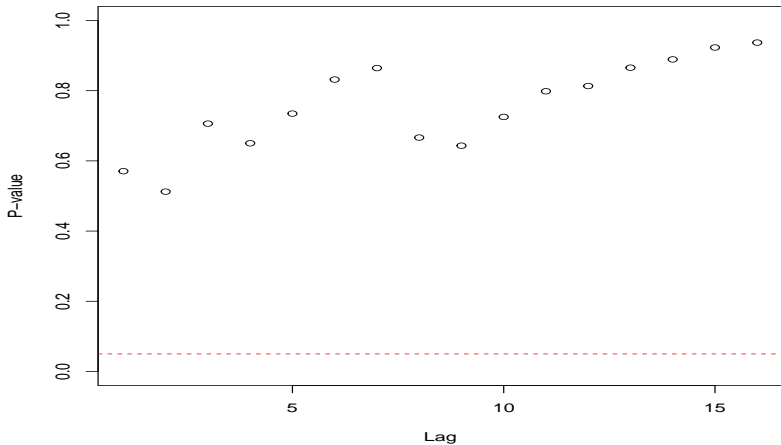
Escolheremos o modelo AR(3)-In, pois fora indicado por seis, das sete estatísticas (CI e CP-Critérios de Previsão). Em tempo, transformar não é, em geral, a melhor opção (com exceção do operador diferença).



Histograma e Box-plot do RP: AR(3) - TSW ($p=0,6439$)



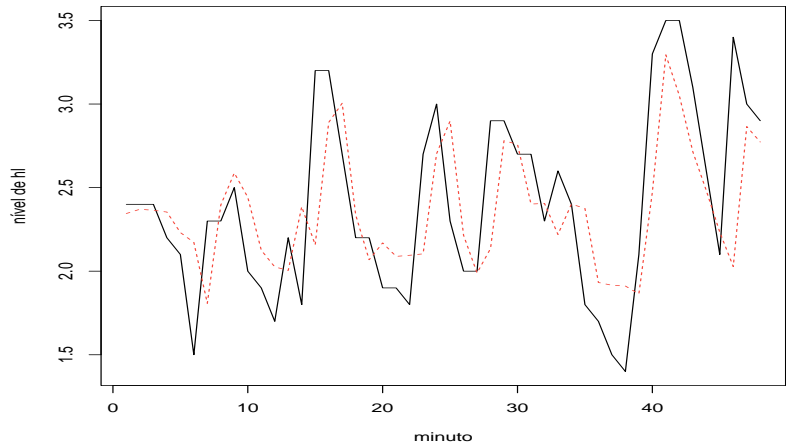
TML do RP



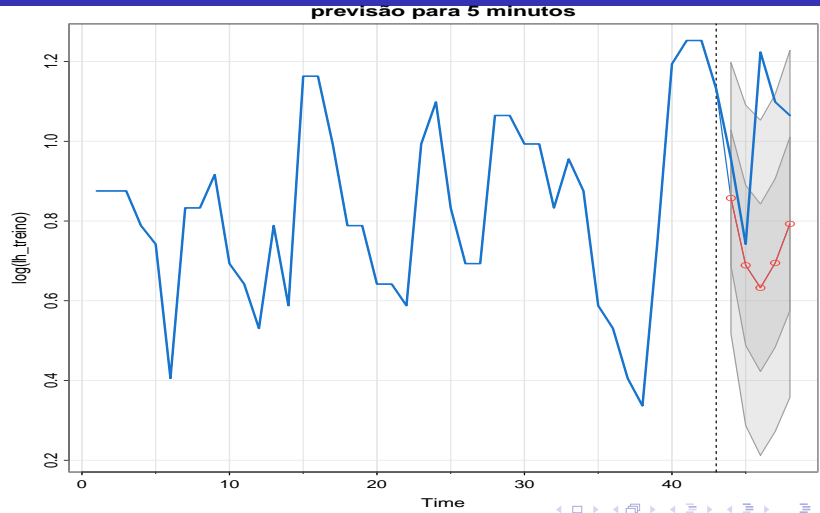
Estimativas do modelo AR(3)-In

| Parâmetro | Estimativa | EP | IC(95%) | Estat-t | p-valor |
|-----------|------------|------|----------------|---------|----------|
| ϕ_1 | 0,61 | 0,14 | [0,34 ; 0,88] | 4,46 | 0,0001 |
| ϕ_2 | -0,02 | 0,16 | [-0,34 ; 0,30] | -0,13 | 0,8973 |
| ϕ_3 | -0,26 | 0,14 | [-0,53 ; 0,02] | -1,83 | 0,0741 |
| μ | 0,85 | 0,04 | [0,77 ; 0,92] | 21,38 | < 0,0001 |

Valores preditos para os dados observados



Valores preditos para dados futuros



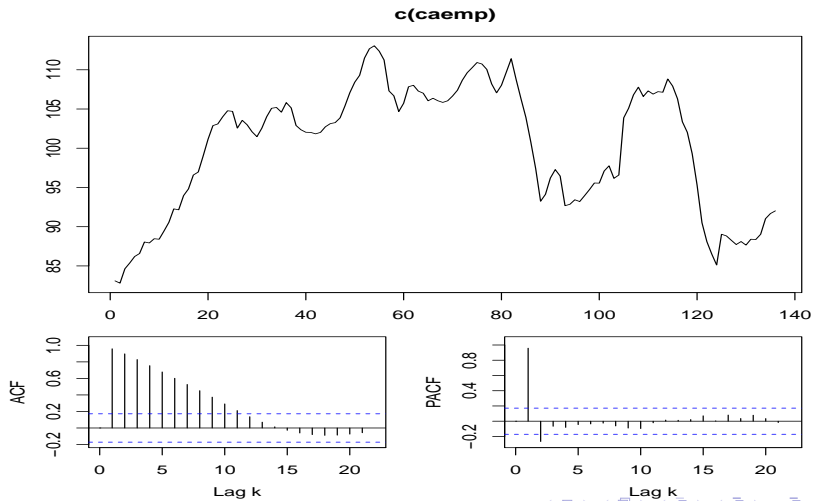
Comentários

- O modelo, em termos de análise residual, se ajustou bem aos dados.
- No entanto, as previsões (valores observados e futuros) não foram satisfatórias. Provavelmente, isso se deve ao fato mencionado anteriormente.
- Em relação às estimativas, em princípio, não é problema ter parâmetros de ordem maior (ϕ_3) (marginalmente) significativos, e outros de ordem menor (ϕ_2) não significativos.
- O modelo ajustado indicou um processo estacionário ($z_1 = 1, 363, z_2 = 2, 108, z_3 = 1, 363$).
- Uma alternativa é usar a modelagem apresentada [aqui](#), página 10.

Dados sobre índice de emprego no Canadá

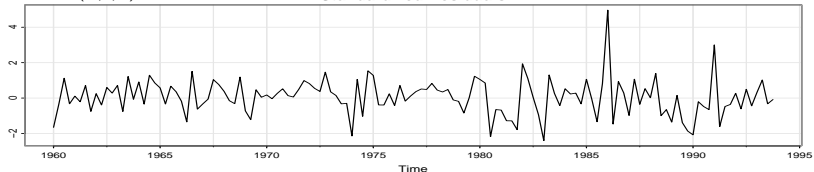
- Os dados já foram analisados ([aqui](#)).
- O modelo AR(2) mostrou-se o melhor entre os modelos AR(i), $i=1,2,3$.
- Compararemos, novamente, os 3 modelos.
- OBS: o ajuste de modelos ARMA(p,q), $p, q \geq 1$ levou a erros-padrão assintóticos negativos.

Dados sobre índice de emprego no Canadá

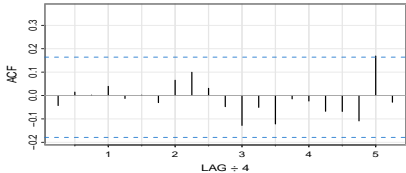


Model: (2,0,0)

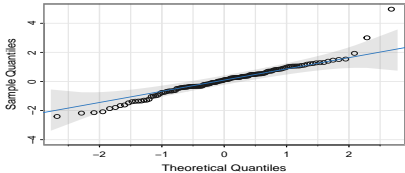
Standardized Residuals



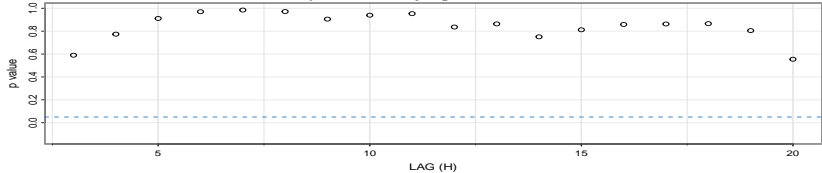
ACF of Residuals



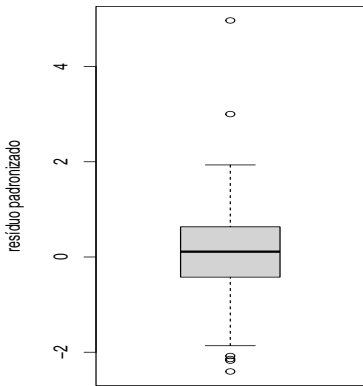
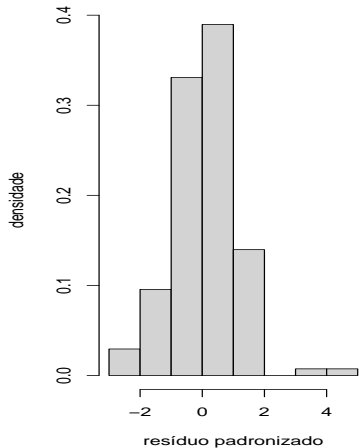
Normal Q-Q Plot of Std Residuals



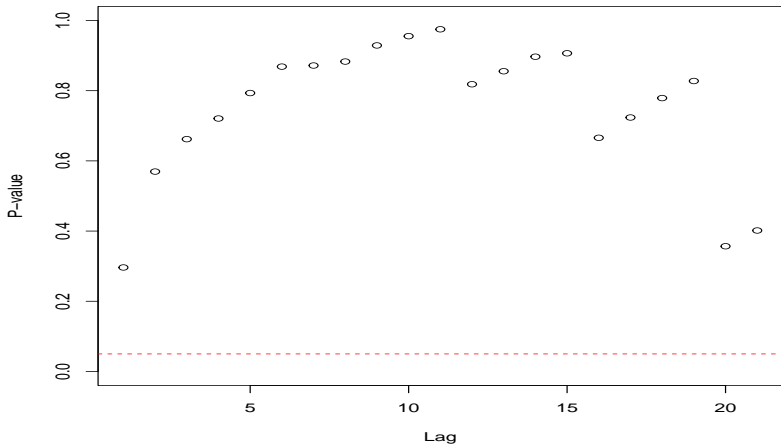
p values for Ljung-Box statistic



Histograma e Box-plot do RP: AR(2) - TSW ($p < 0,0001$)



TML do RP

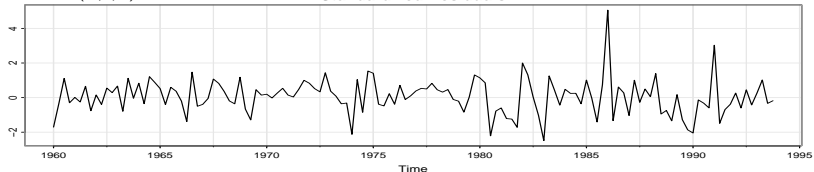


Comentários

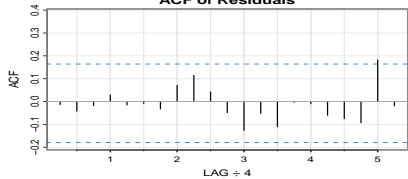
- Apesar dos resíduos indicarem que os erros são RB, há valores discrepantes.
- Com efeito, o gráfico QQ com envelopes, o histograma e o box-plot indicam que os resíduos tem uma distribuição de caudas pesadas (possivelmente assimétrica).
- Com efeito, o ajuste de um modelo AR(2), supondo que $\epsilon_t \stackrel{iid}{\sim} t(0, \sigma^2, \nu)$ (erros), indica $\tilde{\nu} = 6,44$ (o que sugere caudas mais pesadas do que as da $N(0, \sigma^2)$, para os erros) ([link](#)).
- Assim, apesar do modelo não ter se ajustado bem, continuaremos a comparação entre os modelos AR(i) ($i = 1, 2, 3$), considerando normalidade para os erros.

Model: (3,0,0)

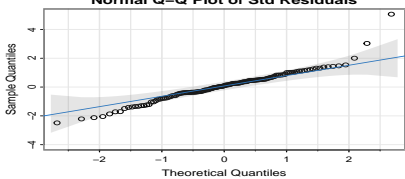
Standardized Residuals



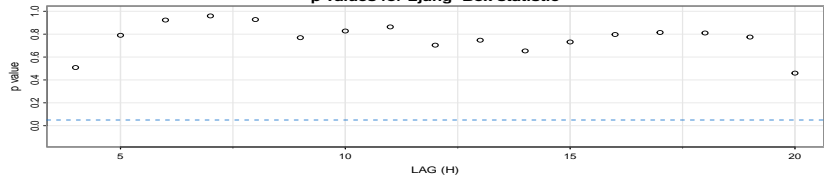
ACF of Residuals



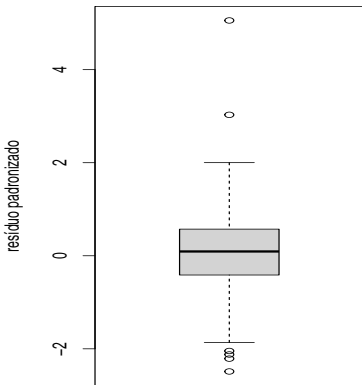
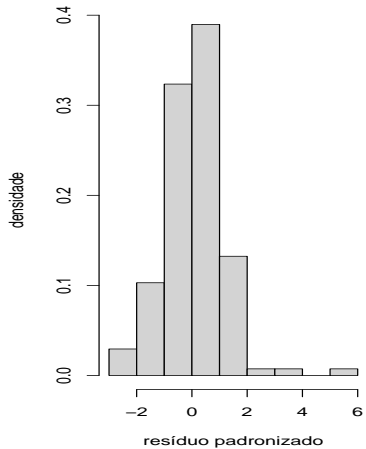
Normal Q-Q Plot of Std Residuals



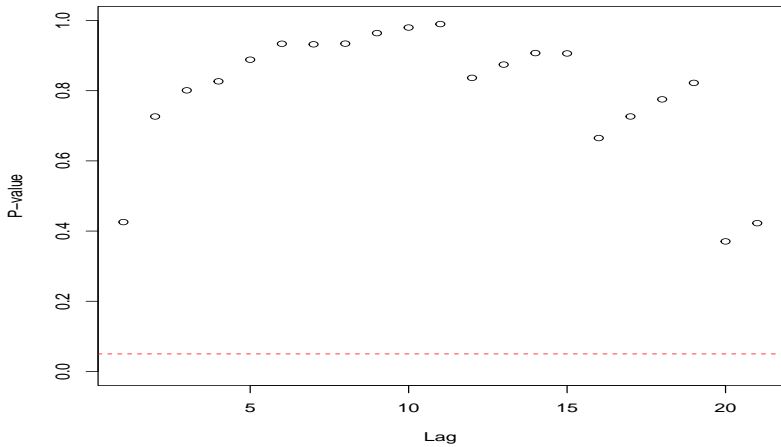
p values for Ljung–Box statistic



Histograma e Box-plot do RP: AR(3) - TSW ($p < 0,0001$)



TML do RP



Critérios de Informação

| Modelo | AIC | AICc | BIC |
|--------|-------|-------|-------|
| AR1 | 3,867 | 3,868 | 3,931 |
| AR2 | 3,629 | 3,631 | 3,715 |
| AR3 | 3,639 | 3,642 | 3,746 |

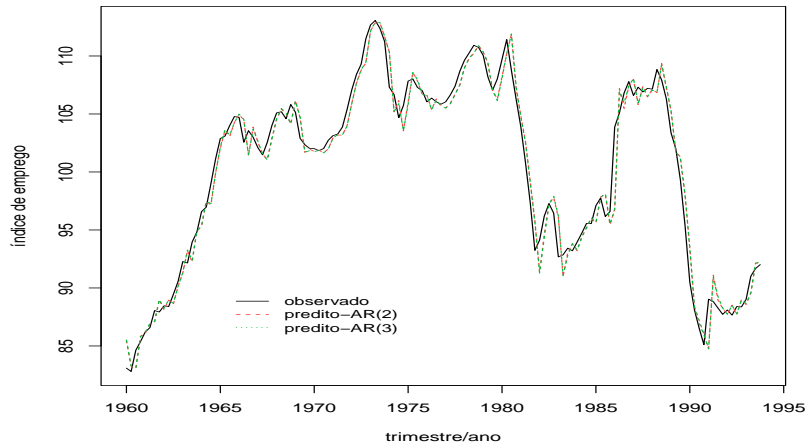
melhor modelo: AR(2)

Critérios de Previsão

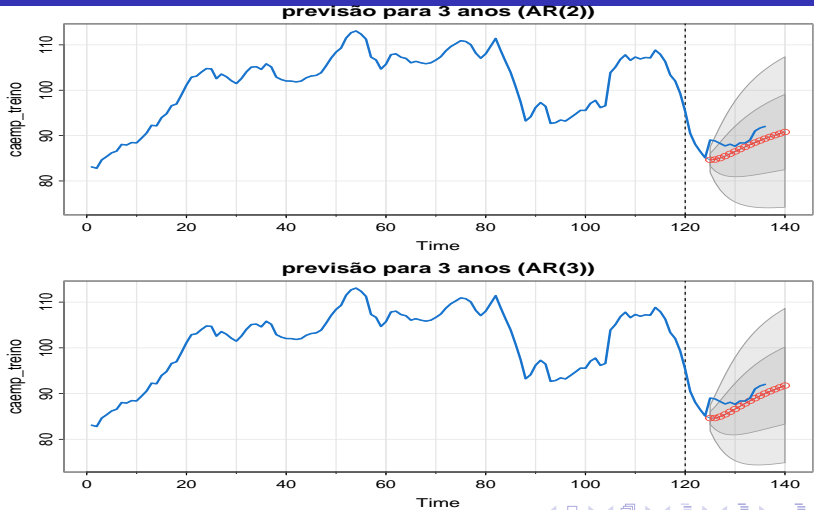
| Modelo | EPM | EQM | EAM | EPAM |
|--------|-------|--------|-------|-------|
| AR(1) | 4,011 | 14,632 | 3,597 | 4,011 |
| AR(2) | 2,663 | 6,881 | 2,379 | 2,663 |
| AR(3) | 2,409 | 6,085 | 2,149 | 2,409 |

melhor modelo: AR(3)

Valores preditos (observados)



Valores preditos (futuros)



Estimativas

| Parâmetro | Estimate | EP | IC(95%) | Estat. t | p-valor |
|-----------|----------|------|------------------|----------|----------|
| ϕ_1 | 1,45 | 0,07 | [1,30 ; 1,60] | 19,36 | < 0,0001 |
| ϕ_1 | -0,48 | 0,08 | [-0,63 ; -0,33] | -6,25 | < 0,0001 |
| μ | 97,50 | 4,39 | [88,89 ; 106,11] | 22,19 | < 0,0001 |
| ϕ_1 | 1,42 | 0,09 | [1,25 ; 1,59] | 16,67 | < 0,0001 |
| ϕ_2 | -0,38 | 0,15 | [-0,66 ; -0,09] | -2,59 | 0,0106 |
| ϕ_3 | -0,07 | 0,09 | [-0,24 ; 0,10] | -0,79 | 0,4083 |
| μ | 97,81 | 4,10 | [89,78 ; 105,85] | 23,86 | < 0,0001 |

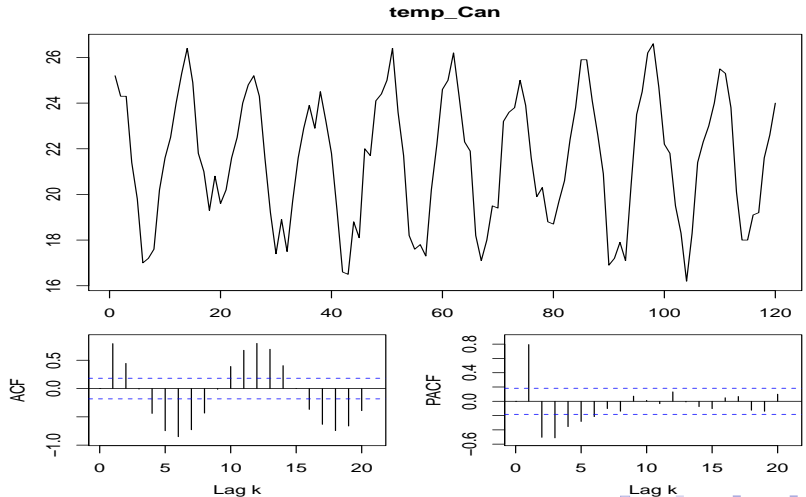
Comentários

- Optaremos pelo modelo AR(3), apesar dos Critérios de Informação terem indicado o AR(2) e do parâmetro ϕ_3 ter sido não significativo. Note os critérios de previsão indicaram o modelo AR(3). Provavelmente, esse “conflito” se deve a não normalidade dos resíduos.
- Modelos ARMA(p,q), como mencionado anteriormente, apresentaram problemas no ajuste (erros-padrão assintóticos, negativos).
- Sugestão: comparar modelos na classe AR(p), com os equivalentes com erros t de Student assimétricos.

Dados de temperaturas mensais ($^{\circ}\text{C}$) da cidade de Cananéia/SP: 1976 a 1985

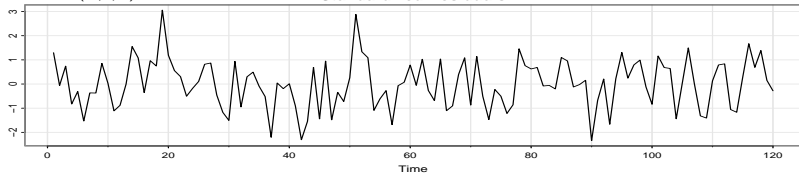
- Os dados já foram analisados ([aqui](#)).
- Dos modelos comparados (ARMA(p,q)), o modelo ARMA(2,2) fora escolhido. No entanto, não apresentou um bom ajuste, sob os aspectos residual e preditivo.
- Com efeito, percebe-se na ST (próxima figura) uma sazonalidade não passível de ser capitada por modelos ARMA(p,q), apesar de haver indícios de estacionariedade.
- Vamos considerar modelos $SARIMA(p,q)(P,Q)_s$.

Dados sobre temperatura (ST,FAC,FACP)

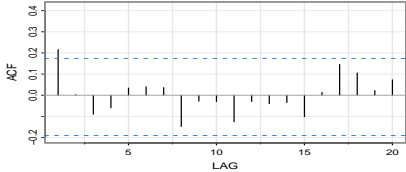


Model: (2,0,2)

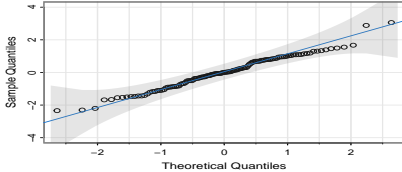
Standardized Residuals



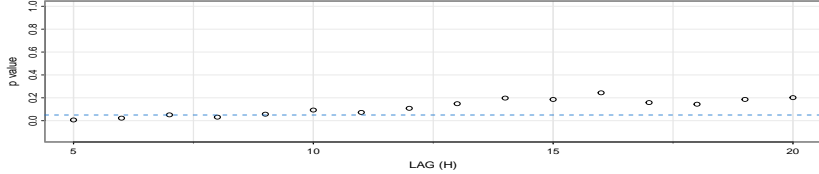
ACF of Residuals



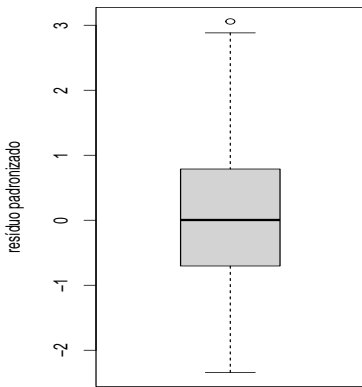
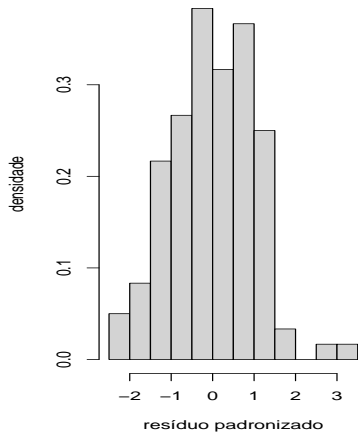
Normal Q-Q Plot of Std Residuals



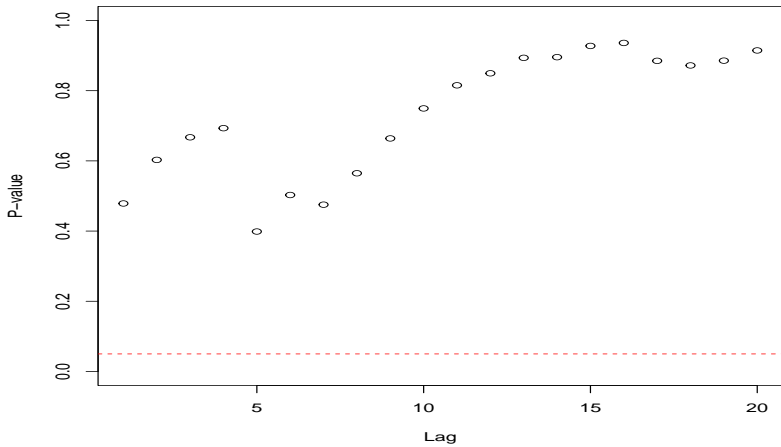
p values for Ljung–Box statistic



Hist. e BP do RP: ARMA(2,2) - TSW ($p = 0,1692$)

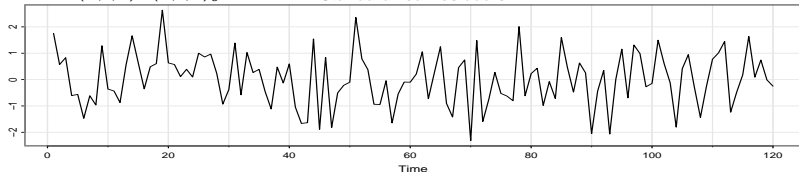


TML do RP

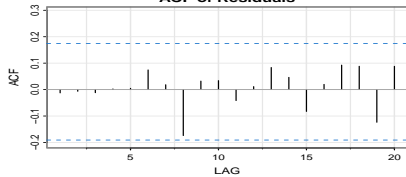


Model: $(2,0,2) \times (1,0,1)_6$

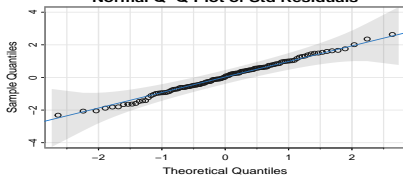
Standardized Residuals



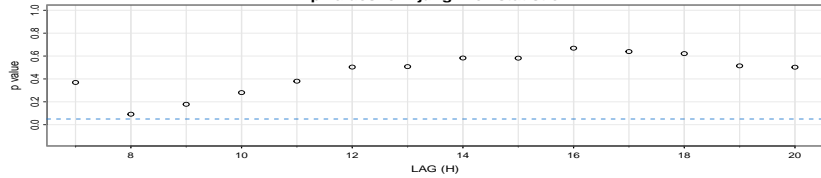
ACF of Residuals



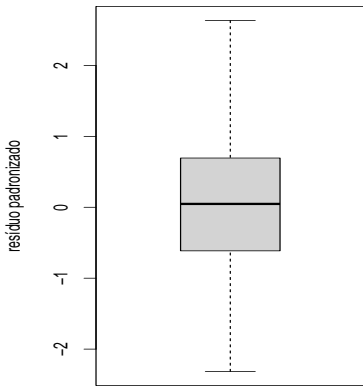
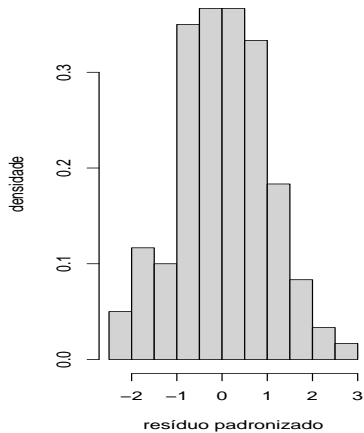
Normal Q-Q Plot of Std Residuals



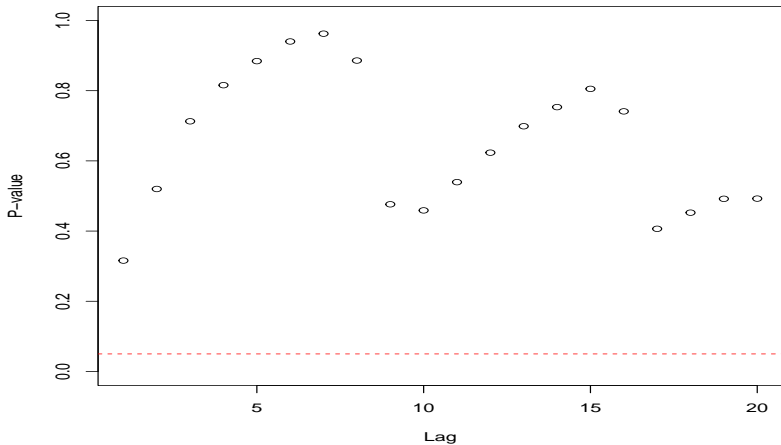
p values for Ljung-Box statistic



$SARIMA(2, 0, 2)(1, 0, 1)_{s=6}$ - TSW ($p=0,8981$)



TML do RP



Critérios de Informação

| Modelo | AIC | AICc | BIC |
|--|-------|-------|-------|
| ARMA(1,1) | 3,799 | 3,800 | 3,892 |
| ARMA(2,1) | 3,122 | 3,125 | 3,238 |
| ARMA(1,2) | 3,694 | 3,697 | 3,810 |
| ARMA(2,2) | 2,890 | 2,894 | 3,029 |
| <i>SARMA</i> (2, 1)(1, 1) _{s=6} | 2,929 | 2,936 | 3,092 |
| <i>SARMA</i> (2, 2)(1, 1) _{s=6} | 2,903 | 2,911 | 3,088 |

Os modelos $SARMA(1, 1)(1, 1)_{s=6}$ e $SARMA(1, 2)(1, 1)_{s=6}$ apresentaram problemas na convergência do processo iterativo de estimação.

Critérios de Previsão

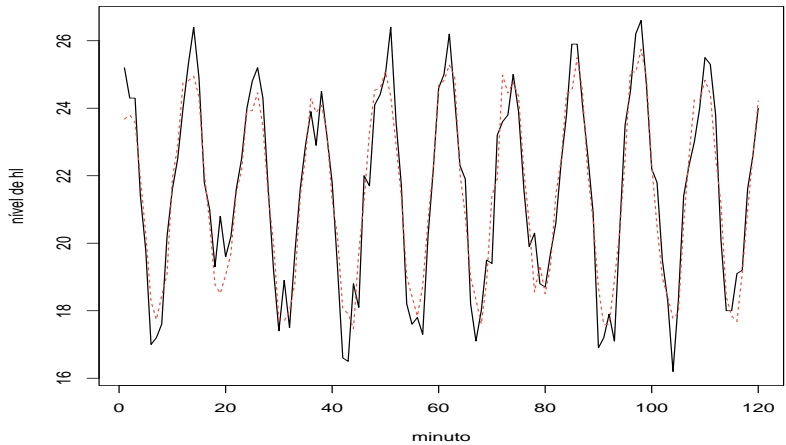
| Modelo | EPM | EQM | EAM | EPAM |
|---------------------------|--------|-------|-------|--------|
| ARMA(1,1) | -5,029 | 6,388 | 2,227 | 10,989 |
| ARMA(2,1) | -5,153 | 6,079 | 2,147 | 10,646 |
| ARMA(1,2) | -0,061 | 2,064 | 1,342 | 6,319 |
| $SARMA(2, 1)(1, 1)_{s=6}$ | 1,751 | 0,715 | 0,698 | 3,211 |
| $SARMA(2, 2)(1, 1)_{s=6}$ | 1,787 | 0,726 | 0,701 | 3,224 |

O modelo ARMA(2,2) apresentou problemas no ajuste, para a amostra treino. Como os modelos SARIMA apresentaram os melhores ajustes mas, a diferença em termos de previsão é módica, escolheremos o modelo $SARMA(2, 2)(1, 1)_{s=6}$.

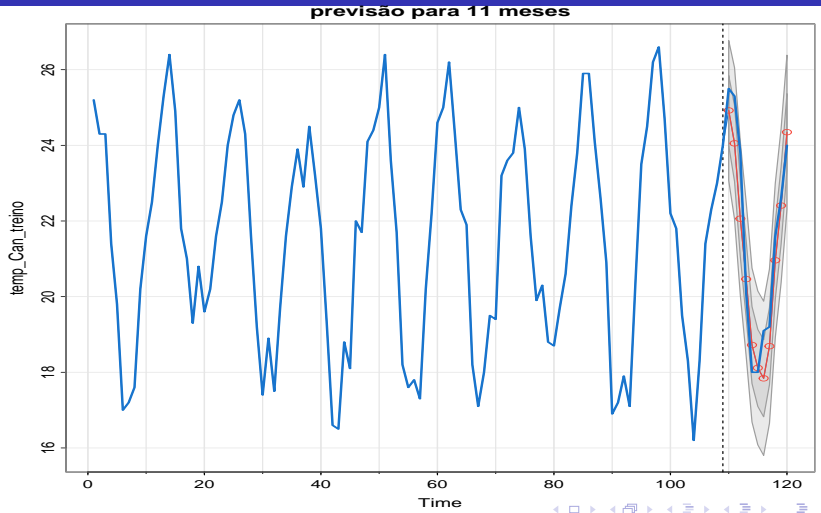
Estimativas do modelo selecionado

| Parâmetro | Est. | EP | IC(95%) | Estat. t | p-valor |
|------------|-------|-------|-------------------|----------|----------|
| ϕ_1 | 1,46 | 0,17 | [1,13 ; 1,78] | 8,71 | < 0,0001 |
| ϕ_2 | -0,53 | 0,16 | [-0,85 ; -0,21] | -3,26 | 0,0015 |
| θ_1 | -1,10 | 0,20 | [-1,48 ; -0,71] | -5,57 | < 0,0001 |
| θ_2 | 0,10 | 0,20 | [-0,29 ; 0,48] | 0,50 | 0,6179 |
| Φ_1 | -1,00 | <0,01 | [<-1,00 ; >-1,00] | -4297,92 | < 0,0001 |
| Θ_1 | 0,98 | 0,04 | [0,91 ; 1,06] | 24,95 | < 0,0001 |
| μ | 21,51 | 0,02 | [21,46 ; 21,56] | 869,80 | < 0,0001 |

Valores preditos (observados)



Valores preditos (futuros)



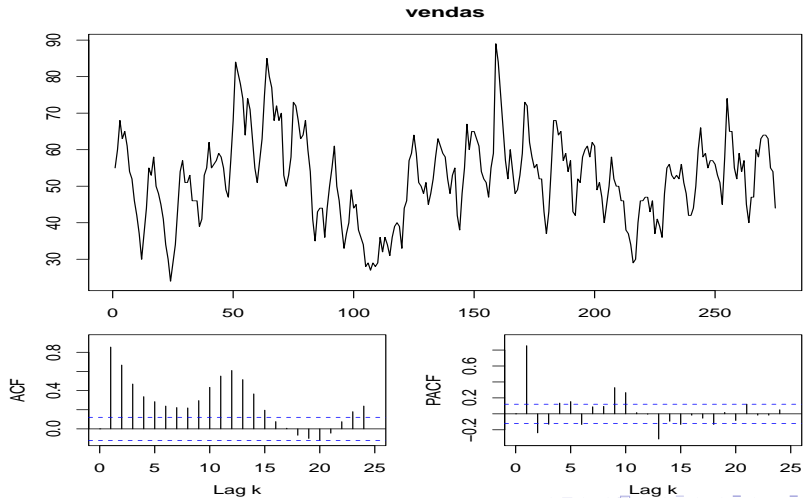
Comentários

- O modelo escolhido mostrou um ajuste bastante satisfatório, tanto do ponto de vista residual quanto de predição (observados e futuros).
- Não se vê necessidade de tentar melhorar, ao menos dentro do contexto do curso.
- Características das raízes dos polinômios (estacionário, causal e invertível - regular e sazonal):
 - $\phi(B)$: $z_1 = 1,306$; $z_2 = 1,449$; $\theta(B)$: $z_1 = 1,000$; $z_2 = 10,235$.
 - $\Phi(B)$: $z_1 > 1,000$; $z_2 > 1,000$; $z_3 > 1,000$; $z_4 > 1,000$; $z_5 > 1,000$; $z_6 > 1,000$.
 - $\Theta(B)$: $z_1 > 1,002$; $z_2 > 1,002$; $z_3 > 1,002$; $z_4 > 1,002$; $z_5 > 1,002$; $z_6 > 1,002$;

Dados de vendas mensais de casas

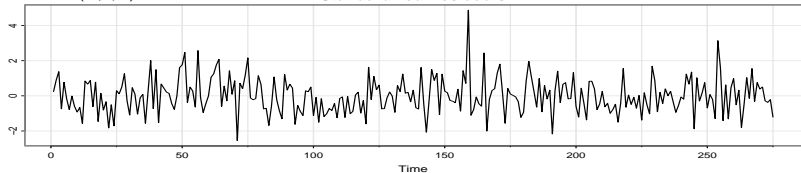
- Analisados, anteriormente, [aqui](#).
- De todos os modelos considerados ($\text{ARMA}(p,q)$), o selecionado fora o $\text{ARMA}(4,2)$.
- Entretanto, a análise residual indicou um mal ajuste (erros não RB, presença de ACF nos resíduos e não normalidade destes).
- Por outro lado, as previsões (dados observados e futuros) foram razoáveis.
- Além disso (veja gráfico a seguir) parece existir uma sazonalidade multiplicativa, embora a ST pareça ser estacionária. Compare esse padrão com o desta [figura](#) (slide 38).

Dados sobre vendas de casa (ST,FAC,FACP)

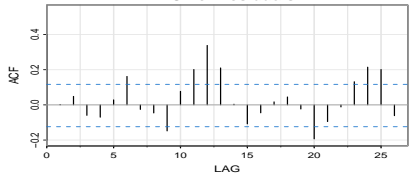


Model: (4,0,2)

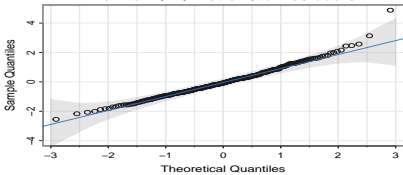
Standardized Residuals



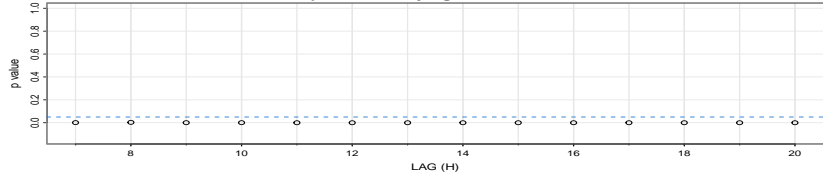
ACF of Residuals



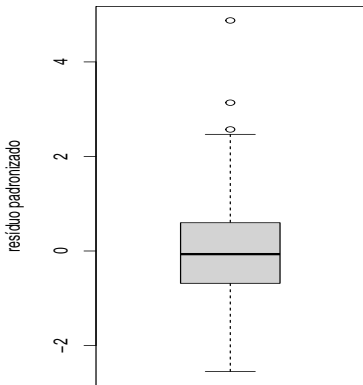
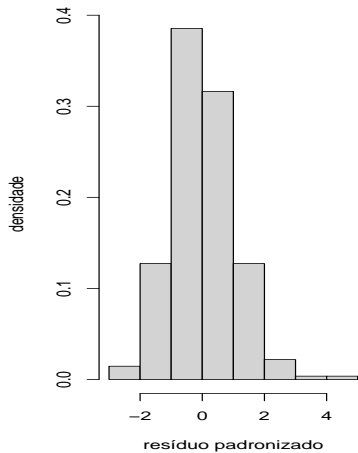
Normal Q-Q Plot of Std Residuals



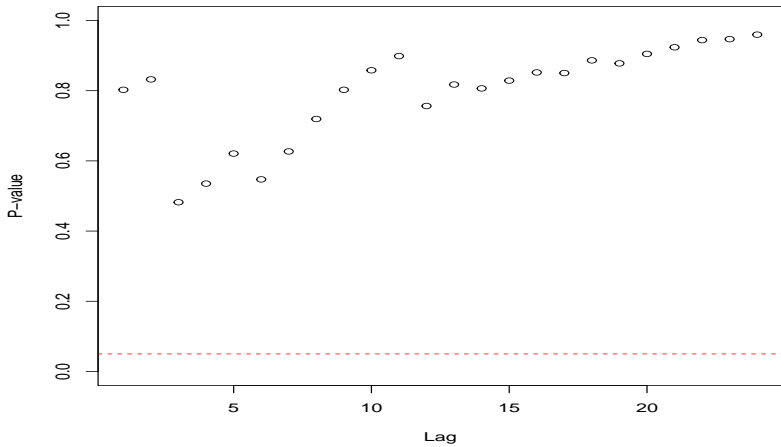
p values for Ljung–Box statistic



ARMA(4,2) - TSW ($p=0,0005$)

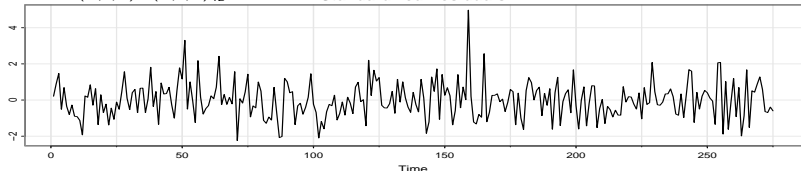


TML do RP

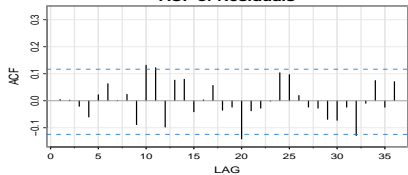


Model: $(4,0,2) \times (1,0,0)_{12}$

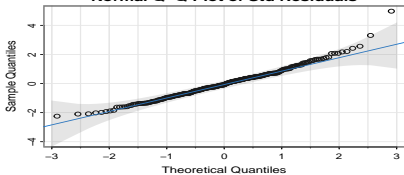
Standardized Residuals



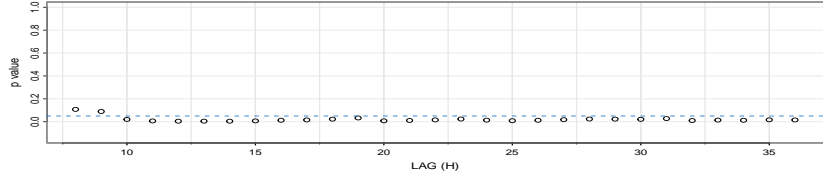
ACF of Residuals



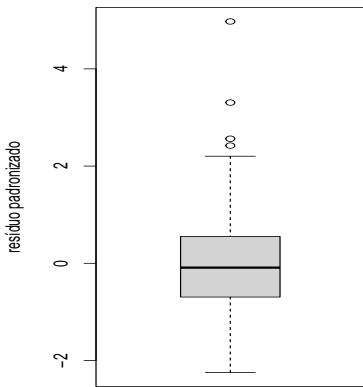
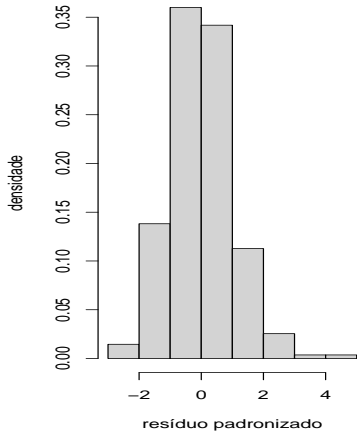
Normal Q-Q Plot of Std Residuals



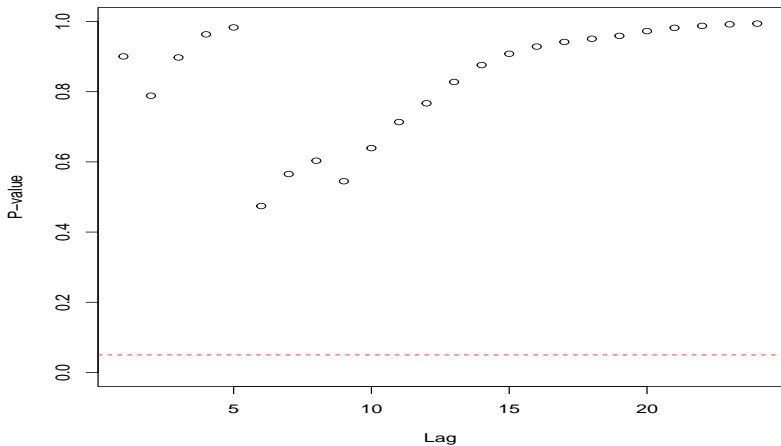
p values for Ljung–Box statistic



$SARIMA(4, 2)(1, 0)_{s=12}$ - TSW ($p=0,0001$)



TML do RP



Critérios de Informação

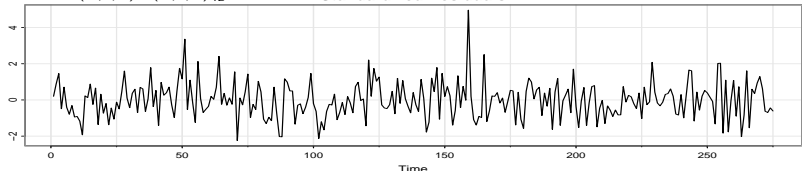
| Modelo | AIC | AICc | BIC |
|----------------------------|-------|-------|-------|
| $SARMA(1, 1)(1, 0)_{s=12}$ | 6,151 | 6,151 | 6,217 |
| $SARMA(1, 2)(1, 0)_{s=12}$ | 6,156 | 6,157 | 6,235 |
| $SARMA(1, 3)(1, 0)_{s=12}$ | 6,163 | 6,165 | 6,256 |
| $SARMA(1, 4)(1, 0)_{s=12}$ | 6,157 | 6,159 | 6,262 |
| $SARMA(2, 1)(1, 0)_{s=12}$ | 6,157 | 6,158 | 6,236 |
| $SARMA(2, 2)(1, 0)_{s=12}$ | 6,163 | 6,165 | 6,256 |
| $SARMA(2, 3)(1, 0)_{s=12}$ | 6,157 | 6,158 | 6,262 |
| $SARMA(2, 4)(1, 0)_{s=12}$ | 6,163 | 6,165 | 6,282 |
| $SARMA(3, 1)(1, 0)_{s=12}$ | 6,153 | 6,154 | 6,245 |
| $SARMA(3, 2)(1, 0)_{s=12}$ | 6,160 | 6,161 | 6,265 |
| $SARMA(3, 3)(1, 0)_{s=12}$ | 6,164 | 6,166 | 6,282 |
| $SARMA(3, 4)(1, 0)_{s=12}$ | 6,138 | 6,140 | 6,269 |
| $SARMA(4, 1)(1, 0)_{s=12}$ | 6,158 | 6,160 | 6,263 |
| $SARMA(4, 2)(1, 0)_{s=12}$ | 6,165 | 6,167 | 6,283 |
| $SARMA(4, 3)(1, 0)_{s=12}$ | 6,107 | 6,109 | 6,238 |
| $SARMA(4, 4)(1, 0)_{s=12}$ | 6,143 | 6,146 | 6,288 |

Critérios de Previsão

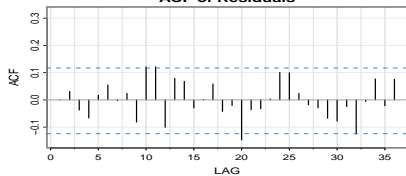
| Modelo | EPM | EQM | EAM | EPAM |
|----------------------------|--------|---------|--------|--------|
| $SARMA(1, 1)(1, 0)_{s=12}$ | -0,552 | 128,163 | 9,986 | 19,912 |
| $SARMA(1, 2)(1, 0)_{s=12}$ | 4,173 | 84,528 | 7,344 | 13,083 |
| $SARMA(1, 3)(1, 0)_{s=12}$ | 3,932 | 91,705 | 7,593 | 13,380 |
| $SARMA(1, 4)(1, 0)_{s=12}$ | 4,593 | 124,480 | 9,895 | 17,750 |
| $SARMA(2, 1)(1, 0)_{s=12}$ | -0,705 | 136,082 | 10,535 | 20,842 |
| $SARMA(2, 2)(1, 0)_{s=12}$ | 4,234 | 77,533 | 6,988 | 12,456 |
| $SARMA(2, 3)(1, 0)_{s=12}$ | 4,003 | 83,163 | 7,144 | 12,626 |
| $SARMA(2, 4)(1, 0)_{s=12}$ | 4,879 | 102,408 | 8,792 | 15,779 |
| $SARMA(3, 1)(1, 0)_{s=12}$ | -0,294 | 112,146 | 8,992 | 17,831 |
| $SARMA(3, 2)(1, 0)_{s=12}$ | 3,572 | 67,070 | 7,254 | 13,048 |
| $SARMA(3, 3)(1, 0)_{s=12}$ | 4,179 | 74,086 | 7,542 | 13,433 |
| $SARMA(3, 4)(1, 0)_{s=12}$ | 4,212 | 119,498 | 9,629 | 17,419 |
| $SARMA(4, 1)(1, 0)_{s=12}$ | -1,067 | 128,853 | 9,941 | 19,928 |
| $SARMA(4, 2)(1, 0)_{s=12}$ | 3,844 | 85,215 | 7,425 | 13,275 |
| $SARMA(4, 3)(1, 0)_{s=12}$ | 2,999 | 92,140 | 7,706 | 13,663 |
| $SARMA(4, 4)(1, 0)_{s=12}$ | 3,671 | 122,527 | 9,922 | 17,928 |

Model: $(3,0,2) \times (1,0,0)_{12}$

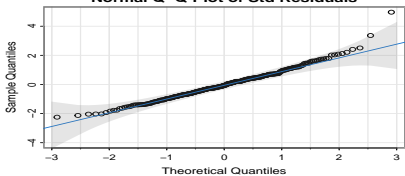
Standardized Residuals



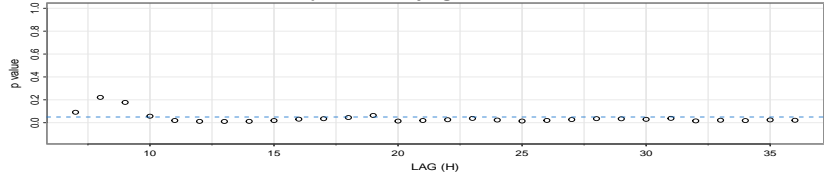
ACF of Residuals



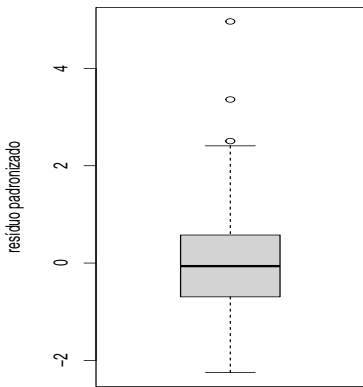
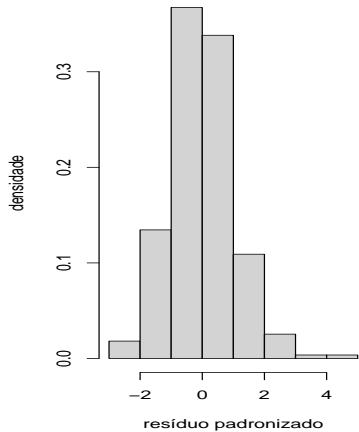
Normal Q-Q Plot of Std Residuals



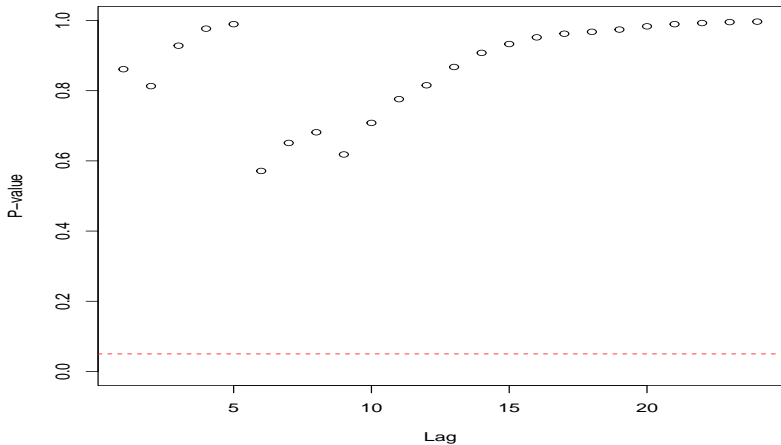
p values for Ljung–Box statistic



$SARMA(3, 2)(1, 0)_{s=12}$ - TSW ($p=0,0002$)

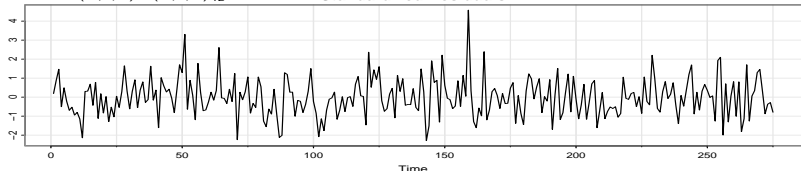


TML do RP

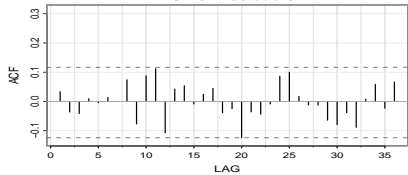


Model: (4,0,3) \times (1,0,0)₁₂

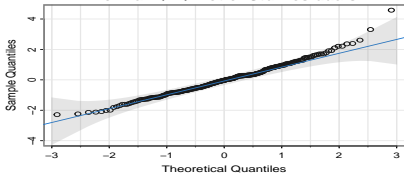
Standardized Residuals



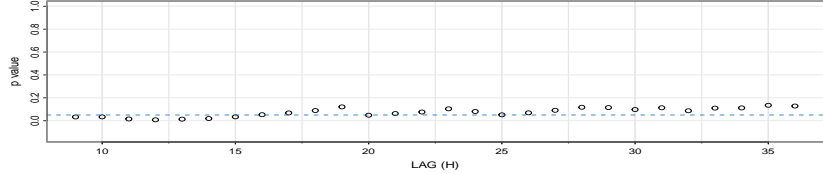
ACF of Residuals



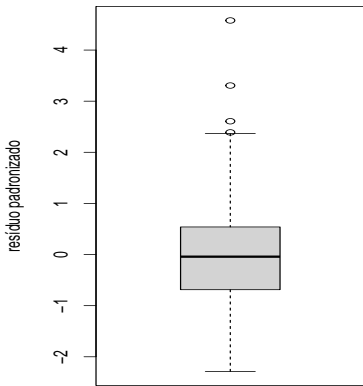
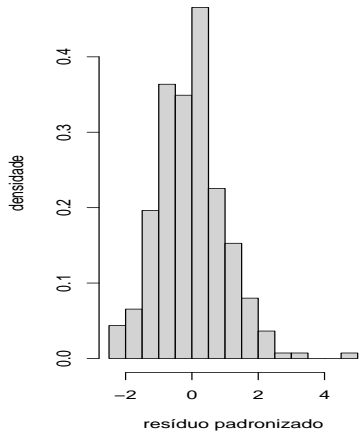
Normal Q-Q Plot of Std Residuals



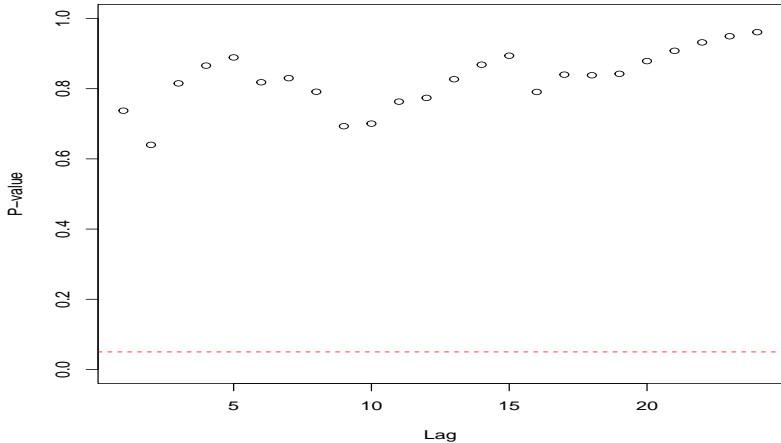
p values for Ljung–Box statistic



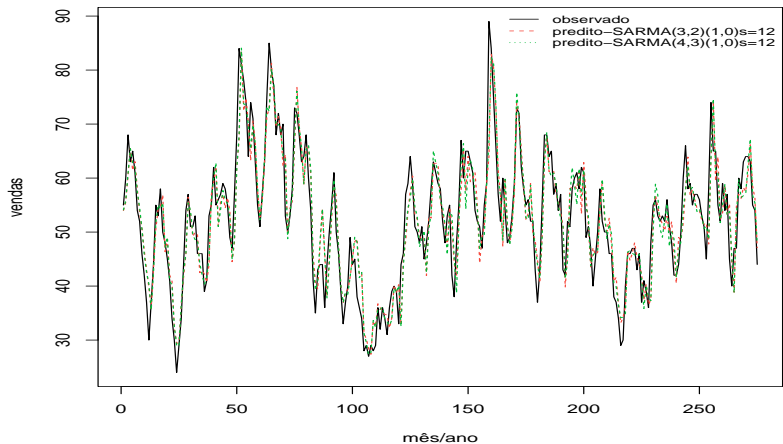
$SARMA(4, 3)(1, 0)_{s=12}$ - TSW ($p=0,0011$)



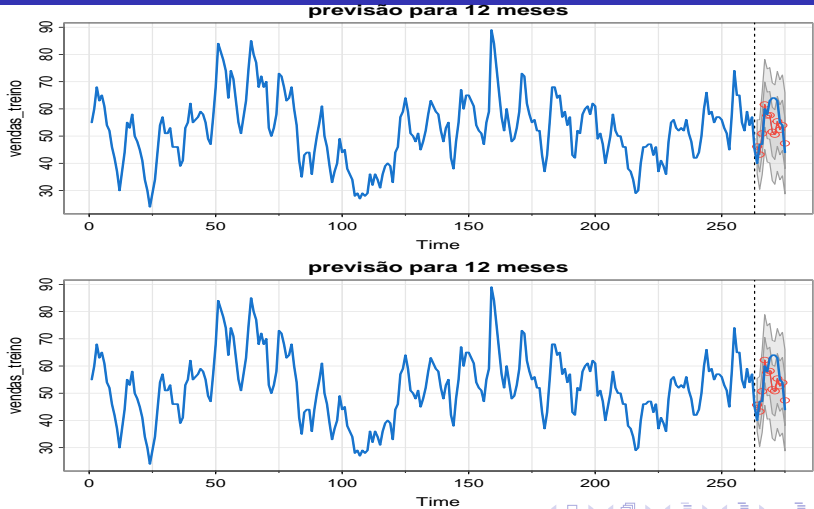
TML do RP



Valores preditos para os dados observados



Valores preditos para dados futuros



Resultados Inferenciais

| Prâmetro | Est. | EP | IC(95%) | Estat. t | p-valor |
|------------|-------|------|-----------------|----------|---------|
| ϕ_1 | 0,15 | 0,51 | [-0,84 ; 1,14] | 0,30 | 0,7642 |
| ϕ_2 | 0,82 | 0,07 | [0,67 ; 0,96] | 11,10 | <0,0001 |
| ϕ_3 | -0,23 | 0,40 | [-1,02 ; 0,55] | -0,59 | 0,5564 |
| θ_1 | 0,76 | 0,51 | [-0,24 ; 1,75] | 1,48 | 0,1397 |
| θ_2 | -0,23 | 0,50 | [-1,22 ; 0,75] | -0,46 | 0,6428 |
| Φ_1 | 0,55 | 0,05 | [0,45 ; 0,66] | 10,27 | <0,0001 |
| μ | 52,67 | 3,66 | [45,50 ; 59,84] | 14,40 | <0,0001 |

Comentários

- O modelo escolhido é o $SARMA(3, 2)(1, 0)_{s=12}$ (melhor previsão, bem destacada com relação aos demais modelos).
- Do ponto de vista de análise residual, o modelo não se ajustou bem (não normalidade e comportamento não compatível com RB dos erros).
- Embora a previsão para os dados razoáveis tenha sido satisfatória, para os dados futuros, não o foi.

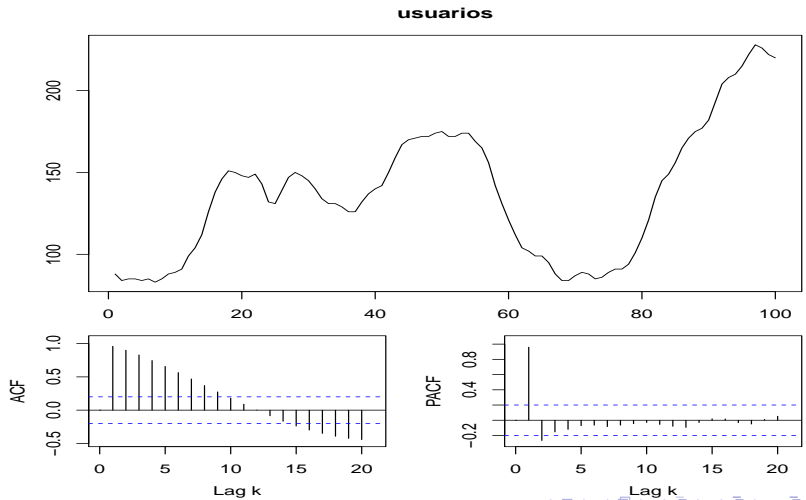
Comentários

- O modelo ajustado indicou um processo (estacionário, causal e invertível - parte pura, e estacionário e causal - parte sazonal):
 - $\phi(z) : z_1 = 1,244; z_2 = 1,045; z_3 = 3,275.$
 - $\theta(z) : z_1 = 1,151; z_2 = 1,151.$
 - $\Phi(z) : z_i = 1,129; i = 1, 2, \dots, 12.$
- Sugestão: utilizar a estrutura $SARIMA(p, q)(P, D)_s$ com erros t de Student assimétricos.

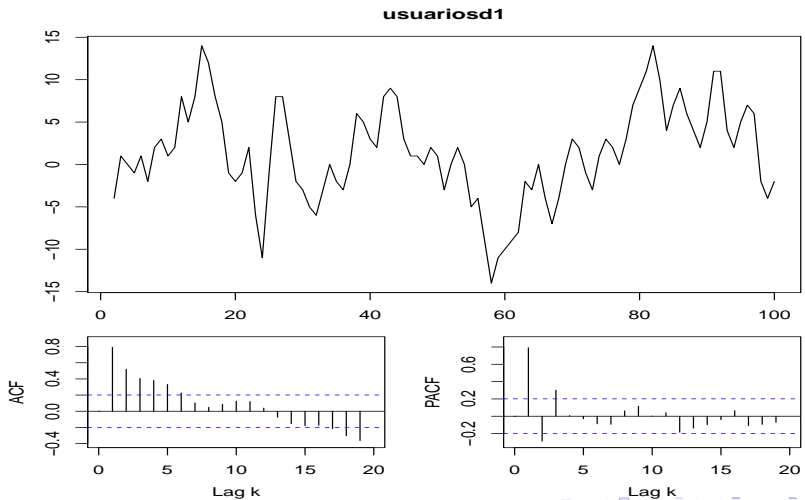
Dados do número de usuários conectados à Internet por meio de um servidor a cada minuto

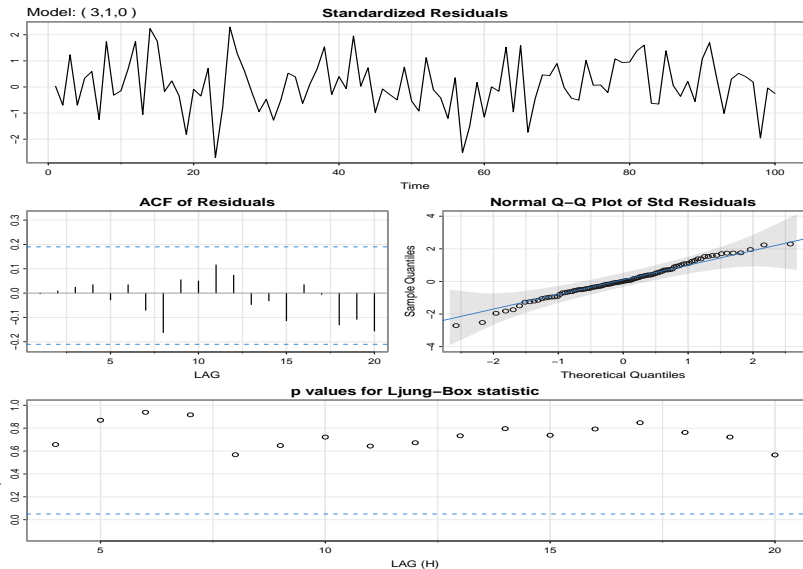
- Anteriormente analisados [aqui](#).
- Série não estacionária com um padrão semelhante à um processo ARIMA(p,d,q).
- Anteriormente, o modelo ARIMA(3,1,0) (sem constante) fora selecionado, apresentando um bom ajuste (residual + previsão).
- Vamos comparar (mais) modelos (sem constante) nessa classe, usando critérios adicionais.

Dados sobre número de usuários (ST,FAC,FACP)

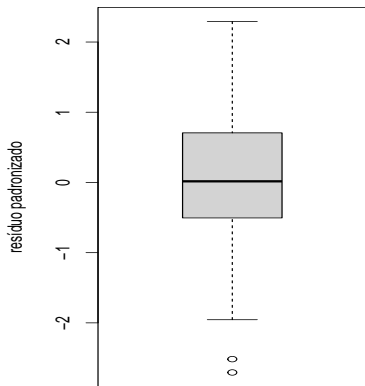
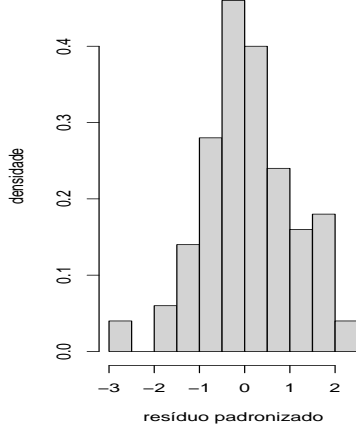


Dados sobre número de usuários (Δ_1) (ST,FAC,FACP)

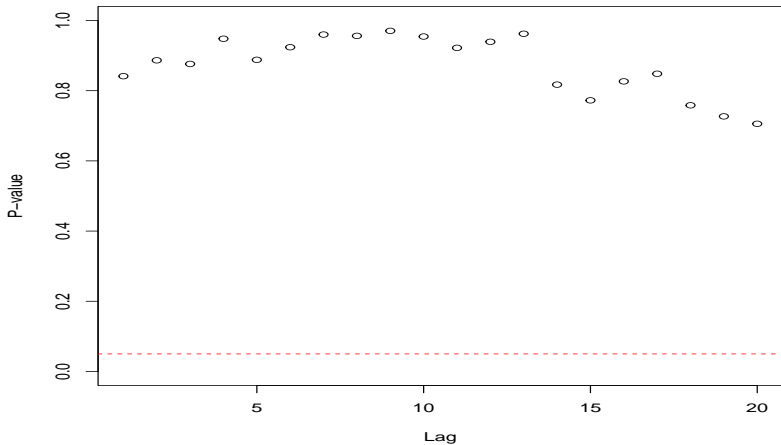




ARIMA(3,1,0) - TSW ($p=0,5951$)



ARIMA(3,1,0) - TML



Critérios de Informação

| Modelo | AIC | AICc | BIC |
|--------------|-------|-------|-------|
| ARIMA(1,1,0) | 5,346 | 5,346 | 5,398 |
| ARIMA(2,1,0) | 5,275 | 5,276 | 5,353 |
| ARIMA(3,1,0) | 5,172 | 5,174 | 5,277 |
| ARIMA(4,1,0) | 5,191 | 5,196 | 5,322 |
| ARIMA(1,1,1) | 5,195 | 5,196 | 5,274 |
| ARIMA(2,1,1) | 5,215 | 5,218 | 5,320 |
| ARIMA(3,1,1) | 5,191 | 5,196 | 5,322 |
| ARIMA(4,1,1) | 5,212 | 5,218 | 5,369 |

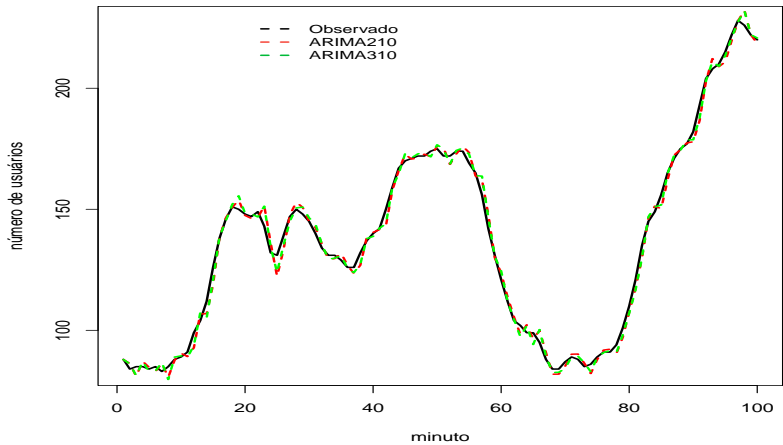
modelo escolhido: ARIMA(3,1,0)

Critérios de Previsão

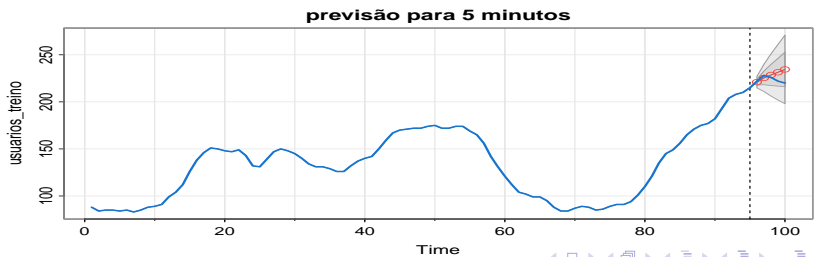
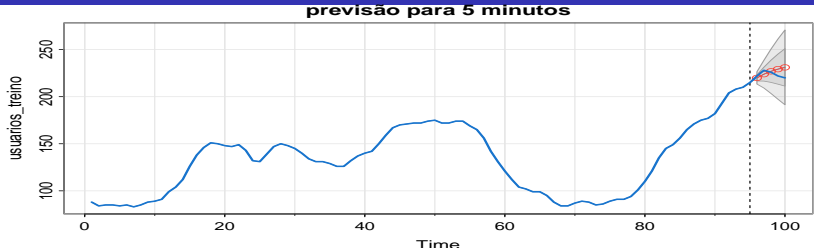
| Modelo | EPM | EQM | EAM | EPAM |
|--------------|-------|--------|-------|-------|
| ARIMA(1,1,0) | 3,261 | 61,063 | 7,322 | 3,261 |
| ARIMA(2,1,0) | 2,146 | 32,227 | 4,837 | 2,146 |
| ARIMA(3,1,0) | 2,377 | 34,830 | 5,344 | 2,377 |
| ARIMA(4,1,0) | 2,561 | 39,680 | 5,755 | 2,561 |
| ARIMA(1,1,1) | 2,556 | 41,076 | 5,749 | 2,556 |
| ARIMA(2,1,1) | 2,593 | 42,022 | 5,834 | 2,593 |
| ARIMA(3,1,1) | 2,531 | 38,869 | 5,688 | 2,531 |
| ARIMA(4,1,1) | 2,493 | 37,862 | 5,604 | 2,493 |

modelo escolhido: ARIMA(2,1,0)

Valores preditos para os dados observados

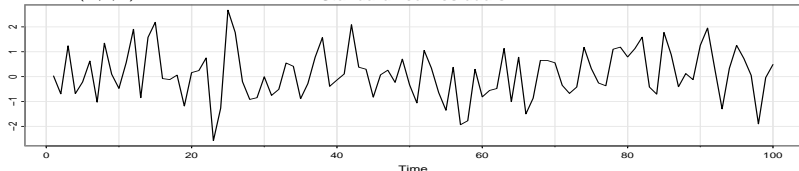


Valores preditos para dados futuros

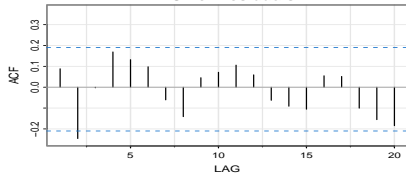


Model: (2,1,0)

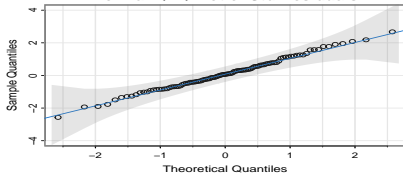
Standardized Residuals



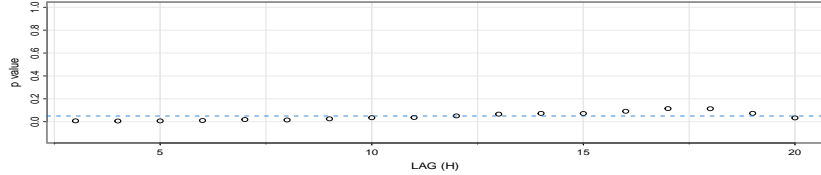
ACF of Residuals



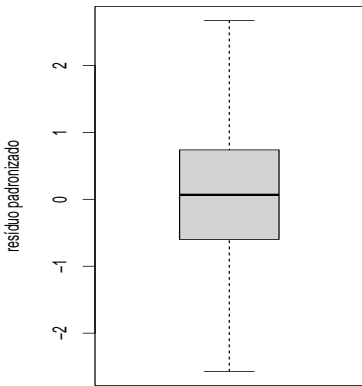
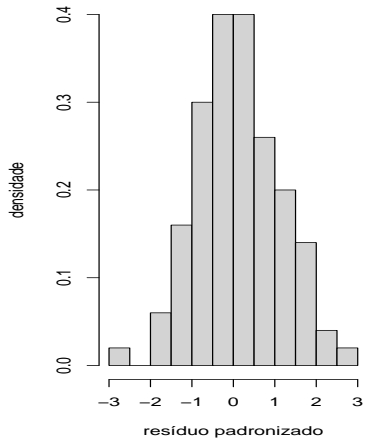
Normal Q-Q Plot of Std Residuals



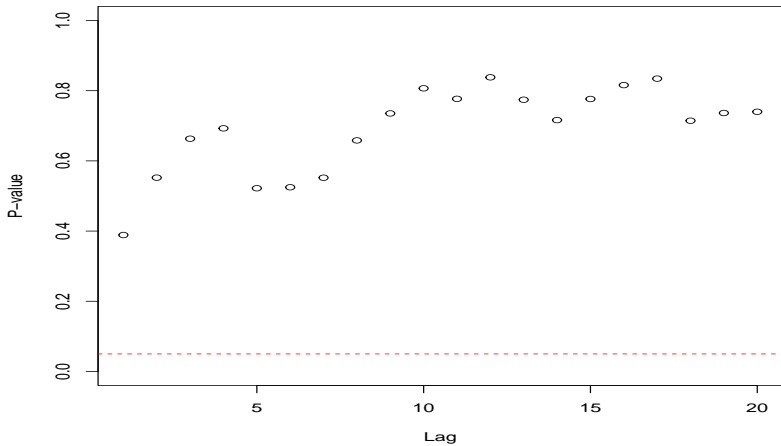
p values for Ljung-Box statistic



ARIMA(2,1,0) - TSW ($p=0,9872$)



ARIMA(2,1,0) - TML



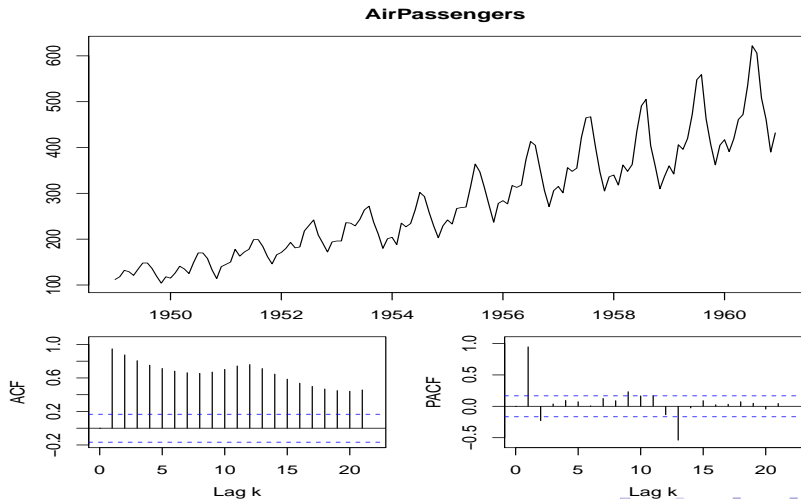
Comentários

- O modelo ARIMA(2,1,0) não se ajustou bem aos dados, devido à existência de ACF's significativas para os resíduos, apesar dos outros gráficos indicaram um bom ajuste.
- Como os CI indicaram o modelo ARIMA(3,1,0) e o modelo ARIMA(2,1,0) não se ajustou bem aos dados, pelo item anterior, apesar dele ter apresentado melhor previsão para dados futuros, escolheremos o modelo ARIMA(3,1,0).
- Para melhorar a previsão para dados futuros, podemos considerar uma extensão do modelo ARIMA(3,1,0) com mudança de regime e/ou erros assimétricos.

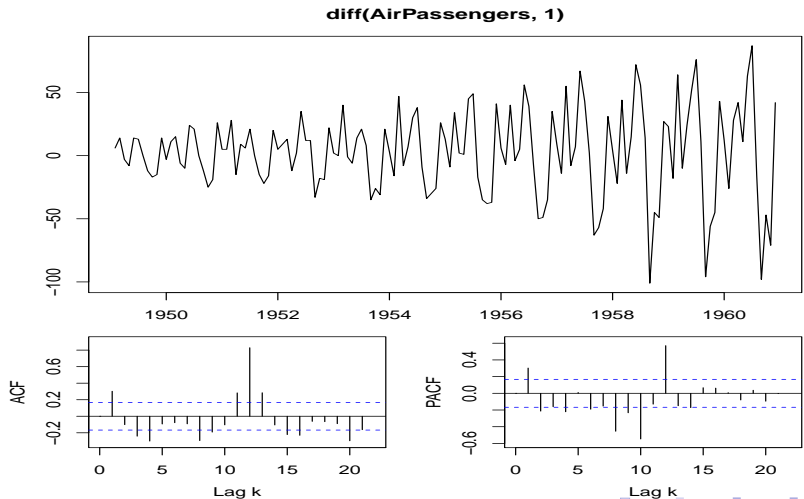
Dados sobre número de passageiros

- Voltando para a série dos passageiros, vamos analisar novamente o comportamento dela.
- **Aqui** utilizamos o modelo AR(1), o qual não se ajustou bem aos dados.
- Primeiramente nota-se que essa série parece ter uma variância não constante no tempo, logo, uma transformação logarítmica pode ser útil de forma a estabilizar essa variância.

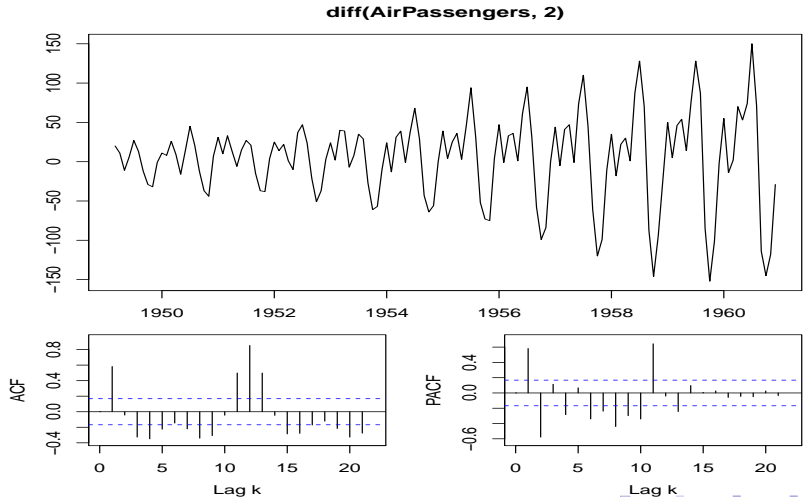
Gráficos ST, FAC, FACP



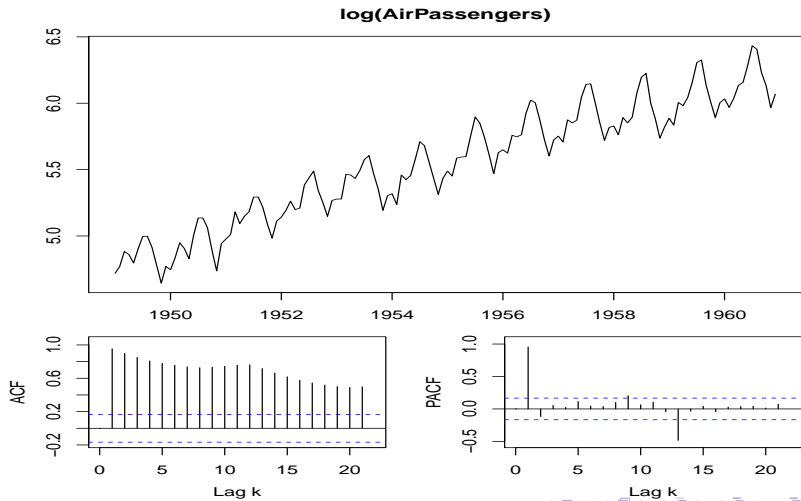
Gráficos ST, FAC, FACP (Δ_1)



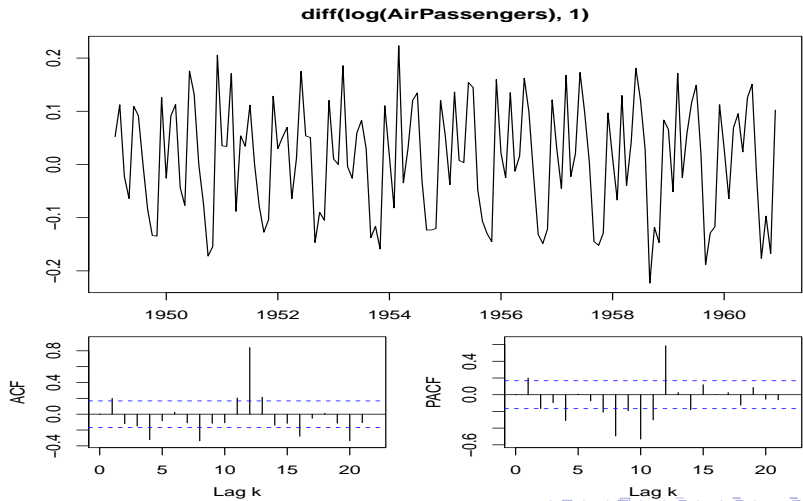
Gráficos ST, FAC, FACP(Δ_2)



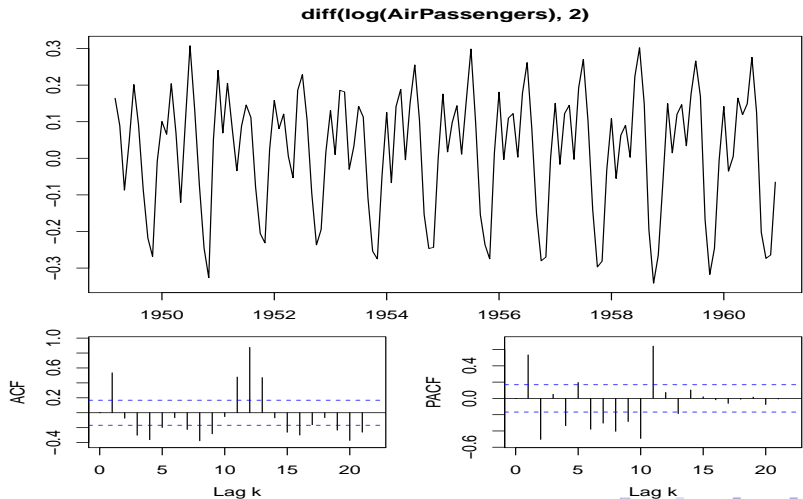
Gráficos ST, FAC, FACP-In



Gráficos ST, FAC, FACP-In (Δ_1)



Gráficos ST, FAC, FACP-In (Δ_2)



Comentários

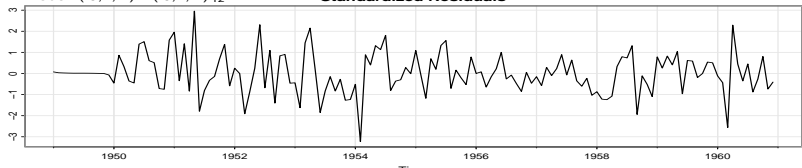
- Percebe-se através da FAC que as autocorrelação amostrais de 12 em 12 meses são diferentes de zero e altas, ou seja, temos indícios de que um mês específico em um ano tem alta correlação com os outros mesmos meses dos outros anos, ou seja, todos os Janeiroiros, Fevereiros, etc.
- Portanto, seria útil termos um modelo que tanto incorpora-se a correlação mês a mês (período 1) quanto ano a ano (período 12), para isso o modelo ARIMA sazonal (SARIMA) é útil.

Modelagem SARIMA

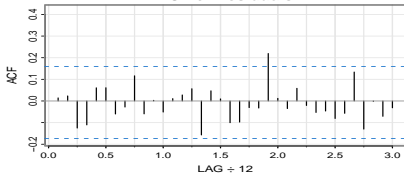
- Na literatura esse banco de dados é bem modelado pelo modelo $SARIMA(0, 1, 1)(0, 1, 1)_{12}$, inclusive esse modelo leva o nome de AIR-LINE devido a ter sido usado primeiramente nessa aplicação.
- Aqui, retiramos as 24 últimas observações de forma a avaliarmos a previsão para esse modelo.

Model: $(0,1,1) \times (0,1,1)_{12}$

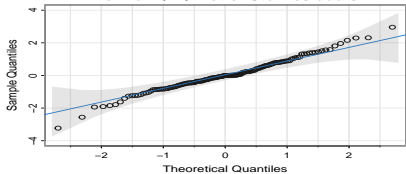
Standardized Residuals



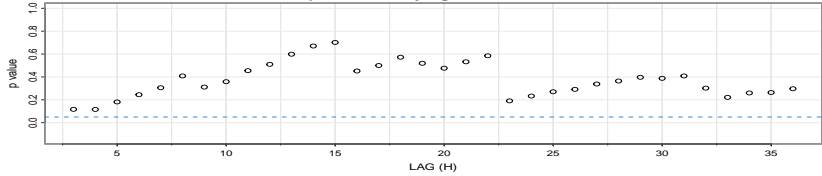
ACF of Residuals



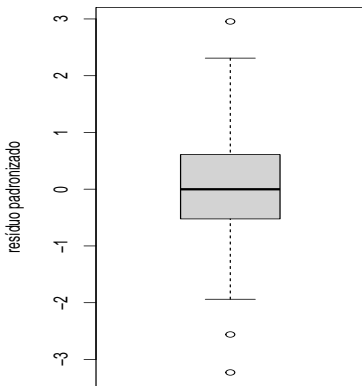
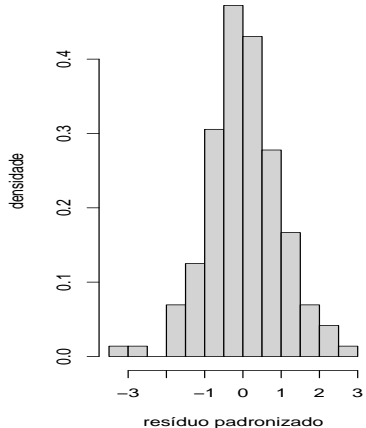
Normal Q-Q Plot of Std Residuals



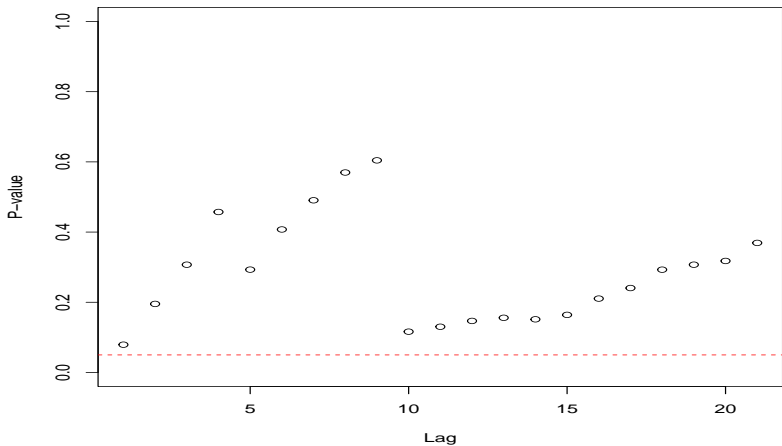
p values for Ljung–Box statistic



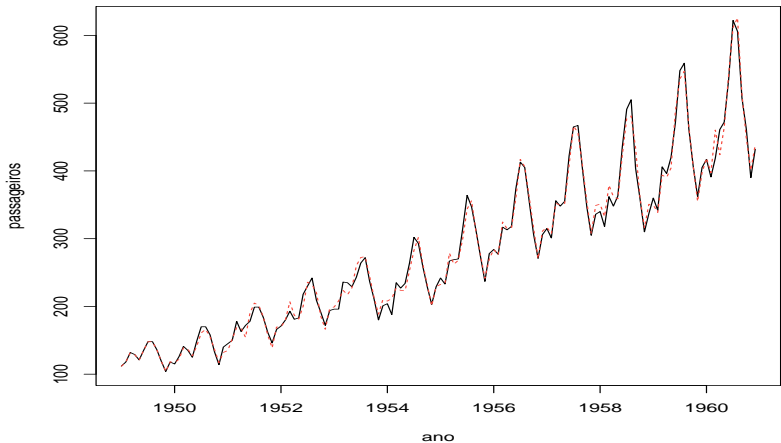
$SARIMA(0, 1, 1)(0, 1, 1)_{s=12}$ - TSW ($p=0,1674$)



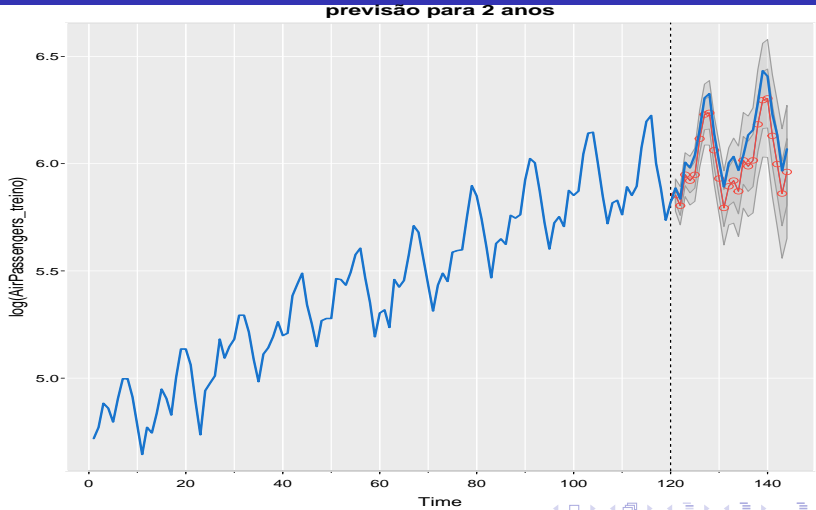
ARIMA(2,1,0) - TML



Valores preditos para os dados observados



Valores preditos para dados futuros



Modelagem SARIMA

- O modelo se ajustou de forma satisfatória. Porém, o ajuste pode ser melhorado, particularmente no que tange à diminuir as ACF's e, assim, conseguir um comportamento, por parte dos resíduos, mais próximo de um RB.
- Em relação à previsão:
 - Valores observados: previsão satisfatória.
 - Valores futuros: sub-previstos.
- Sugestão: considerar modelos da família $SARIMA(p, d, q)(P, D, Q)_s$, assumindo uma distribuição positiva (assimétrica, heterocedástica). Também pode ser apropriado considerar modelos de volatilidade estocástica.